awijaya

awijaya

awijaya

awijaya awijaya awijaya

awijaya awijaya awijaya

awijaya

awijaya awijaya awijaya awijaya

awijaya

awijaya

awijaya

awijaya awijaya awijaya awijaya

# PENGARUH VARIASI PERSENTASE MIKROPARTIKEL CuO sitas Brawijaya TERSUSPENSI PADA FLUIDA CAMPURAN ETHYLENE GLYCOL-AIR TERHADAP KARAKTERISTIK POMPA SENTRIFUGAL

# **SKRIPSI**

# TEKNIK MESIN KONSENTRASI TEKNIK KONVERSI ENERGI

Universitas Brawllay Ditujukan untuk memenuhi persyaratan Brawijaya memperoleh gelar Sarjana Teknik



### HARRY FADHLI APRILIANDO AYJAT NIM. 135060201111032

#### Universitas Brawijay UNIVERSITAS BRAWIJAYA as Brawijaya

# FAKULTAS TEKNIK

### MALANG

Universitas 2017 jaya Universitas Brawijaya

ersitas Brawijaya

### wijaya JUDUL SKRIPSI : wijaya

### PENGARUH VARIASI PERSENTASE MIKROPARTIKEL CuO TERSUSPENSI PADA FLUIDA CAMPURAN *ETHYLENE GLYCOL*-AIR TERHADAP KARAKTERISTIK POMPA SENTRIFUGAL

Nama Mahasiswa : Harry Fadhli Apriliando Ayjat

NIM versitas Brawijaya U: 135060201111032

Program Studi : Teknik Mesin

Konsentrasi : Teknik Konversi Energi

#### **KOMISI PEMBIMBING:**

Dosen Pembimbing I : Dr. Eng. Lilis Yuliati, ST., MT.

Dosen Pembimbing II : Prof. Dr. Ir. Rudy Soenoko, M.Eng.Sc.

### TIM DOSEN PENGUJI:

Dosen Penguji I : Dr. Slamet Wahyudi, ST., MT.

Dosen Penguji II : Dr. Eng. Sofyan Arief Setyabudi, ST., M.Eng.

: Bayu Satria Wardana, ST., M.Eng.

Tanggal Ujian : 7 Juni 2017

SK Penguji : 639/UN10.6/SK/2017

#### PERNYATAAN ORISINALITAS SKRIPSI

Saya menyatakan dengan sebenar-benarnya bahwa sepanjang pengetahuan saya dan berdasarkan hasil penelusuran berbagai karya ilmiah, gagasan dan masalah ilmiah yang diteliti dan diulas di dalam Naskah Skripsi ini adalah asli dari pemikiran saya. Tidak terdapat karya ilmiah yang pernah diajukan oleh orang lain untuk memperoleh gelar akademik di suatu Perguruan Tinggi, dan tidak terdapat karya atau pendapat yang pernah ditulis atau diterbitkan oleh orang lain, kecuali yang dituliskan secara kutipan dan daftar pustaka.

Apabila ternyata di dalam naskah Skripsi ini dapat dibuktikan terdapat unsur-unsur jiplakan, saya bersedia Skripsi dibatalkan, serta diproses dengan peraturan perundang-undangan yang berlaku (UU No. 20 Tahun 2013, Pasal 25 ayat 2 dan pasal 70).

Malang, 31 Juli 2017

Mahasiswa,



Harry Fadhli Apriliando Ayjat

NIM. 135060201111032

### Universitas Brawijava

Harry Fadhli Apriliando Ayjat, Jurusan Teknik Mesin, Fakultas Teknik, Universitas Brawijaya Brawijaya, Mei 2017, Pengaruh Variasi Persentase Mikropartikel CuO Tersuspensi Pada Fluida Campuran Ethylene Glycol-Air Terhadap Karakteristik Pompa Sentrifugal, Dosen Pembimbing : Lilis Yuliati dan Rudy Soenoko.

Penelitian mengenai peningkatan performa heat exchanger telah banyak dilakukan, salah satunya adalah dengan penggantian fluida kerja yang digunakan. Salah satunya adalah penggunaan fluida kerja campuran ethylene glycol-air yang mana akan meningkatkan titik didih dan menurunkan titik beku dari fluida kerja sehingga dapat dioperasikan pada suhu ekstrem. Untuk tetap menjaga nilai konduktivitas termal yang tinggi maka ditambahkan nanopartikel CuO kedalam fluida tersebut. Hal ini akan mempengaruhi performa dari pompa yang mengoperasikan heat exchanger. Dalam penelitian yang bersifat eksperimental ini dilakukan analisa mengenai pengaruh penggunaan fluida kerja campuran ethylene glycol-air dengan penambahan nanopartikel CuO dengan persentase 0%, 0,5%, 1%, 1,5% dan 2% terhadap karakteristik dari pompa sentrifugal. Karakteristik tersebut meliputi head pompa, torsi, daya poros, daya air, dan efisiensi dari pompa sentrifugal. Penelitian ini diamati pada kapasitas pompa yang berbeda-beda yaitu meliputi kapasitas sebesar 0,00006 m<sup>3</sup>/s, 0,00005  $m^3/s$ , 0,00004  $m^3/s$ , 0,00003  $m^3/s$ , 0,00002  $m^3/s$ , dan 0,00001  $m^3/s$ . Setelah dilakukan penelitian ternyata didapatkan hasil bahwa dengan penggunaan fluida campuran ethylene glycol-air dan peningkatan persentase jumlah nanopartikel CuO yang ditambahkan akan meningkatkan nilai torsi dan daya motor yang mana nilai tertinggi didapatkan pada fluida campuran ethylene glycol-air dengan persentase CuO sebesar 2%. Sedangkan nilai head, daya air dan efisiensi mengalami penurunan yang mana nilai terendah juga didaptkan pada penggunaan fluida campuran ethylene glycol-air dengan persentase CuO sebesar 2%.

Kata Kunci: heat exchanger, fluida campuran ethylene glycol-air, nanopartikel CuO, karakteristik pompa sentrifugal



### SUMMARY

Harry Fadhli Apriliando Ayjat, Department of Mechanical Engineering, Faculty of the Brawliava Engineering, University of Brawijaya, Mei 2017, Influence of Suspended CuO Microparticle Percentage in Ethylene Glycol-Water Fluid on the Centrifugal Pump Characteristic, Academic Supervisor: Lilis Yuliati and Rudy Soenoko.

Research about improvement method of heat exchanger performance have done a lot, one of them is about changing the fluid that use in the heat exchanger. For the example is the use of ethylene glycol-water as the working fluid which increased the boiling point and decreased the freezing point of the working fluid, so that it can applies in extreme condition. In order to keep the thermal conductivity in the high point, CuO nanoparticles are filled in the fluid. This method will influences the pump performances that used in a heat exchanger. In this research, the effect of using ethylene glycol-water with CuO nanoparticle with mass percentage 0%, 0,5%, 1%, 1,5% and 2% as the working fluid on the centrifugal pump performances will analyzed. The characteristics of the pump are head, torque, shaft power, water power and efficiency. This research data is taking in different capacity which are  $0,00006 \text{ m}^3/\text{s}, 0,00005 \text{ m}^3/\text{s}, 0,00004 \text{ m}^3/\text{s}, 0,00003 \text{ m}^3/\text{s}, 0,00002 \text{ m}^3/\text{s}, \text{and } 0,00001 \text{ m}^3/\text{s}.$ After the data result is done, it can conclude that with using ethylene glycol-water with CuO nanoparticle as the working fluid, it will increase the torque and the shaft power, and the highest point is shown in the fluid with 2% percentage of CuO. At the same time, head, water power and efficiency are decreasing with the lowest point is shown in the fluid with 2% percentage of CuO.

Heat exchanger, ethylene glycol-water mixing fluid, CuO nanoparticle, las Brawllava **Keywords**: centrifugal pump characteristic

> Universitas Brawijaya Universitas Brawijaya Universitas VIII awijaya Universitas Brawijaya



awijaya

awijaya

awijaya

### DAFTAR GAMBAR niversitas Brawijaya

No	Judul Perubahan Nilai Viskositas Terhadap Konsentrasi Partikel	Halaman
Gambar 2.1	Perubahan Nilai Viskositas Terhadap Konsentrasi Partikel	5
Gambar 2.2	Aliran Inviscid dan Aliran Viscous	
Gambar 2.3	Aliran Internal dan Eksternal	8 sitas Brawijaya
Gambar 2.4	Aliran Laminar, Transisi, dan Turbulen	
Gambar 2.5	Fluida Natural Pada Plat Miring	9 sitas Brawijaya
Gambar 2.6	Sifat Fluida di Antara Dua Plat Paralel Ketika Plat Atas Bergera	ak Universitas Brawijaya
	dengan Kecepatan Konstan.	<ul> <li>Universitas Brawijaya</li> </ul>
Gambar 2.7	e Rrawiiawa . Univercitae Brawiiawa Univercitae Rrawiiawa	I Universites Rrawijava
Gambar 2.8	Skema Aplikasi Persamaan Bernoulli	Universitas Brawijaya
Gambar 2.9	Kondisi Aliran Ketika Masuk Pipa	14
Gambar 2.10	Aliran Fluida Berdasarkan Hukum Kontinuitas  Skema Aplikasi Persamaan Bernoulli  Kondisi Aliran Ketika Masuk Pipa  Contoh Penerapan Pompa	19
Gambar 2.11	Konstruksi Dasar Pompa Sentrifugal	21
Gambar 3.1	Pompa sentrifugal	
Gambar 3.2	Vacuum gauge	29 itas Brawijaya
Gambar 3.3	Pressure Gauge	29 itas Brawijaya
Gambar 3.4	Flowmeter	30 Brawijaya
Gambar 3.5	Bak Penampung	31 <sup>sitas Brawijaya</sup>
Gambar 3.6	Gate Valve	31
Gambar 3.7	Neraca Pegas	32
Gambar 3.8	Timbangan Digital	32
Gambar 3.9	Skema Instalasi Penelitian	33 <sub>sitas</sub> Brawijaya
Gambar 4.3	Pengaruh Kapasitas Dan Persentase Mikropartikel Tembaga Ok	
	Terhadap Head Pompa Sentrifugal	
Gambar 4.4	Pengaruh Kapasitas Dan Persentase Mikropartikel Tembaga Ok	sidaniversitas Brawijaya
	Terhadap Torsi Pompa Sentrifugal	Univ45sitas Brawijaya
Gambar 4.5	Dangamih Vanagitas Dan Dangantasa Milmanantikal Tambaga Ol	niversitas Brawijaya
	Terhadap Daya Poros Pompa Sentrifugal	47
Gambar 4.6	Pengaruh Kapasitas Dan Persentase Mikropartikel Tembaga Ok	Sida niversitas Brawijava
		48
Gambar 4.7	Pengaruh Kapasitas Dan Persentase Mikropartikel Tembaga Ok	
	Terhadap Efisiensi Pompa Sentrifugal	49sitas Brawijaya

### DAFTAR ISI

awijaya		tas Brawijaya Universitas Brawijaya Universitas Brawijaya	Halaman	
awijaya		$\Gamma\!AR$ ramijayaUniversitae Branijaya.Universitae Branijaya		
awijaya 		ISI Brawijaya Universitas Brawijaya Universitas Brawijaya		
awijaya awijaya	DAFTAR	tas Brawijaya Universitas Brawijaya Universitas Brawijaya TABEL	Universi <b>V</b>	
	DAETTAD	GAMBAR va Universitas Brawijaya Universitas Brawijaya	Universi	
awijaya awiiava	DAFTAR	tas Brawijaya Universitas Brawijaya Universitas Brawijaya	V1	
awijaya	RINGKAS	tas Brawijaya Universitas Brawijaya Universitas Brawijaya	vii	
awijaya		Ys Rrawijaya Universitas Brawijaya Universitas Brawijaya		
awijaya				
awijaya				
awijaya		NDAHULUAN		
awijaya	Universi	Latar Belakang	Unive1si	
awijaya	Uni 1.2 l	Rumusan Masalah		
awijaya	$U_{\rm mid} 1.3_{\rm S}$	Batasan Masalah		
awijaya	$u_{ni}$ $1.4_{si}$	Гиjuan Penelitian	3	
awijaya	$U_{\rm mid}1.5_{\rm S}$	Manfaat Penelitian	3	
awijaya				
awijaya		NJAUAN PUSTAKA	Universi	
awijaya	2.1	Penelitian Sebelumnya		
awijaya	2.1	Fluida		
awijaya	2.2	Properties Fluida Cair		
awijaya		Fluida Dinamis		
awijaya		2.4.1 Persamaan Kontinuitas		
awijaya		2.4.1 Persamaan Rohimutas		
awijaya awijaya		2.4.3 Bilangan Reynolds	12	
		2.4.4 The Entrance Region	1 <i>5</i>	
awijaya		Fluida Dasar		
awijaya		Mikropartikel		
awijaya	2.5			
awijaya	2.0	Fluida Dengan Partikel Tersuspensi	10	
awijaya	2.8	2 8 1 Pompa Sentrifugal	20	
awijaya		2.8.1 Pompa Sentrifugal2.8.2 Karakteristik Pompa Sentrifugal	21	
awijaya	2 0	Hipotesis	26	
awijaya	2.9	Thpotesis	20	
awijaya				
	BAB III N	IETODE PENELITIAN	27	
awijaya	3.1	Waktu dan Tempat Penelitian	27	
awijaya		Variabel Penelitian		
awijaya		Alat alat Penelitian		
awijaya		Skema Instalasi Penelitian		
awijaya		Prosedur Pengambilan Data Penelitian		
awijaya	3.6	Diagram Alir Penelitian	35	
awijaya				
awijaya	RAD IX/ II	ASIT DAN DEMRAHASAN Brawijaya Universitas Brawijaya	Universi	
awijaya	DAD IV H	Hasil Danlitian	31	
awijaya	University 25	ASIL DAN PEMBAHASAN	30	
awijaya	Universi	tas Brawijaya Universitas Brawijaya Universitas Brawijaya	Universi	

13		
18	1000	

	Universitas Brawijaya	Universitas Brawijaya Universita		Universitas	
	4.3 Analisa dan Pem	bahasan	s-Brawijaya	43	
	4.3.1 Pengaruh	Kapasitas dan Persentase Mikropar	tikel Tembaga	Oksida	
	Universitas B. Terhadap	Head Pompa Sentrifugal	o Brawijaya ·	43 <sub>s tas</sub>	
	4.3.2 Pengaruh	Kapasitas dan Persentase Mikropar	tikel Tembaga	Oksida	
	Universitas a Terhadap	Torsi Pompa Sentrifugal	a Bramijaya	44 <sub>sitas</sub>	
	4.3.3 Pengaruh	Kapasitas dan Persentase Mikropar	tikel Tembaga	Oksida	
	Terhadap	Daya Poros Pompa Sentrifugal	a Brawijaya	46	
	4.3.4 Pengaruh	Kapasitas dan Persentase Mikropar	tikel Tembaga	Oksida	
	Ternadap	Daya Air Pompa Sentrifugal		4/sitas	
	4.3.5 Pengarun	Kapasitas dan Persentase Mikropar	nker Tembaga	Oksida	
	Universitas Brawijaya	Efisiensi Pompa Sentrifugal	s Brawijaya	Universitas	
jaya l	BAB V KESIMPULAN D	AN SARAN	s. Brawijaya	53 tas	
	5.1 Kesimpulan	Universite	s.Brawijaya	53 tas	
	5.2 Saran		e-Brawijaya	53 tas	
aya	DAFTAR PUSTAKA				
	LAMPIRAN				

Universitas Brawijaya Universitas Brawijaya Universitas Bivawijaya Universitas Brawijaya awijaya

awijaya

	awijaya
	awijaya
	awijaya
	awijaya
N/	awijaya
A	awijaya
	awijaya
- <b>-</b>	awijaya
	awiiava

awijaya

No	ersitas Ji	udul	

## DAFTAR TABEL Universitas Brawijaya

Halaman Brawijaya Judui Pangkalan Data Jumlah Publikasi Pada Scopus Universitas Brawijaya

Tabel 2.1.	Pangkalan Data Jumlah Publikasi Pada Scopus	18	aya
Tabel 2.2.	Konduktivitas Termal dan Logam Fluida Pemanas	19 rsitas Brawii	ava
Tabel 4.1.	Data Penelitian		aya

awijaya Ta 

Universitas Brawijaya Universitas Brawijaya

### KATA PENGANTAR

Puji syukur penulis ucapkan kehadirat Allah Subhana Wa Ta'ala atas segala limpahan rahmat, nikmat, dan karunia-Nya yang telah diberikan sehingga penulis dapat menyelesaikan skripsi dengan judul, "Pengaruh Variasi Persentase Mikropartikel CuO Tersuspensi Pada Fluida Campuran Ethylene Glycol-Air Terhadap Karakteristik Pompa Sentrifugal" ini dengan baik. Sholawat serta salam semoga tetap tercurahkan kepada junjungan kita Nabi Besar Muhammad Shallallahu Alaihi Wasallam.

Dalam kesempatan ini, penulis menyampaikan ucapan terima kasih sebesarbesarnya kepada pihak-pihak yang telah membantu, membimbing, memberi petunjuk, dan dukungan dalam penyelesaian skripsi ini :

- 1. Kedua orang tua tercinta, Ayahanda Ayang Basri dan Ibunda Nurhayati, dan kakak Havri Muasuri N.A. serta adik Sekar Cahyani A.A., terimakasih tak terhingga atas seluruh doa, nasihat, dan dukungan yang telah diberikan.
  - 2. Dr. Eng. Lilis Yuliati, ST., MT. selaku dosen pembimbing I yang telah memberi banyak saran, masukan, motivasi dan semangat dalam penyusunan skripsi.
- 3. Prof. Dr. Ir. Rudy Soenoko, M.Eng.Sc. selaku dosen pembimbing II yang telah memberikan motivasi dan saran, sehingga penulis bisa menyelesaikan skripsi tepat waktu.
  - 4. Majelis penguji dalam ujian sarjana/komprehensif.
  - Dr. Eng. Nurkholis Hamidi, ST., M. Eng. selaku Ketua Jurusan dan Purnami, ST.,
     MT. selaku Sekretaris Jurusan Teknik Mesin Universitas Brawijaya yang telah membantu kelancaran proses administrasi.
- 6. Dr. Eng. Widya Wijayanti, ST., MT. selaku Ketua Program Studi S1 Jurusan

  Teknik Mesin Universitas Brawijaya yang telah membantu kelancaran administrasi.
  - 7. Francisca Gayuh Utami Dewi, ST., MT.selaku Ketua Kelompok Dasar Keahlian Konsentrasi Teknik Konversi Energi.
  - 8. Seluruh dosen pengajar, staf, dan karyawan Jurusan Teknik Mesin Universitas
    Brawijaya yang telah memberikan banyak ilmu dan bantuannya untuk mendukung
    penyusunan skripsi ini.
- 9. Kawan skripsi Arel dan Fauzan yang telah banyak membantu dalam menyelesaikan penelitian ini.
- 10. Keluarga Besar Aerokreasi Mesin UB yang tidak dapat disebutkan satu persatu satu persatu



- 11. Teman-teman asisten laboratorium mesin-mesin fluida yang telah membantu memberikan fasilitas dalam penelitian ini.
- 12. Teman-teman asisten studio gambar yang telah mengizinkan penulis mengerjakan skripsi pada ruangan asisten dalam jangka waktu yang panjang.
- 13. Keluarga Konstruksi Energi tercinta yang selalu ada disaat penulis dalam keadaan susah maupun senang.
- 14. Teman-teman seperjuangan Mesin 2013 'Susah Seneng Tanggung Bareng', terimakasih atas solidaritas, kebersamaan, dan semua kenangan manis yang tak akan terlupakan.
- 15. Keluarga Besar Mahasiswa Mesin Fakultas Teknik Universitas Brawijaya.
- 16. Semua pihak yang tidak dapat penulis sebutkan satu persatu yang telah membantu dan mendukung penulis dalam menyelesaikan skripsi.

Penulis menyadari bahwa skripsi ini masih jauh dari kata sempurna. Oleh karena itu, saran dan kritik yang membangun sangat penulis harapkan demi penyusunan skripsi dengan baik.

Akhir kata, penulis berharap agar skripsi ini dapat berguna bagi kita semua sehingga dapat menjadi acuan untuk penelitian lebih lanjut untuk kemajuan kita bersama.

Malang, Juli 2017

Penulis

#### LEMBAR PENGESAHAN

### PENGARUH VARIASI PERSENTASE MIKROPARTIKEL CuO TERSUSPENSI PADA FLUIDA CAMPURAN *ETHYLENE* GLYCOL-AIR TERHADAP KARAKTERISTIK POMPA SENTRIFUGAL

#### **SKRIPSI**

#### KONSENTRASI TEKNIK KONVERSI ENERGI

Diajukan untuk memenuhi persyaratan memperoleh gelar Sarjana Teknik



### HARRY FADHLI APRILIANDO AYJAT NIM. 135060201111032-62

Skripsi ini telah direvisi dan disetujui oleh dosen pembimbing pada tanggal 31 Juli 2017

DOSEN PEMBIMBING I

<u>Dr.Eng. Lilis Yuliati, ST.,MT.</u> NIP. 19750702 200003 2 001 DOSEN REMBIMBING II

Prof. Dr. Ir. Rudy Soenoko, M.Eng.Sc. NIP. 19490911 198403 1 001

Mengetahui, Keyua Program Studi S1

<u>Dr.Eng. Widya Wijayanti, ST.,MT.</u> NIP. 19750802 199903 2 002

### Universitas (BAB), I va Universitas Brawijaya PENDAHULUAN Warshas Brawiiava

### 1.1 Latar Belakang

Dalam dunia industri, kebutuhan terhadap alat penukar panas atau yang biasa disebut dengan heat exchanger sangatlah tinggi. Hal ini disebabkan karena pertukaran panas sangatlah penting dalam melanjutkan proses dari suatu siklus kerja. Pertukaran panas juga memberikan pengaruh yang besar terhadap efisiensi sistem. Hal ini memicu munculnya berbagai penelitian untuk meningkatkan efisiensi dari heat exchanger ,(Kabeel et al, 2012). Secara umum, peningkatan efisiensi dari heat exchanger dilakukan dengan melakukan penambahan luas permukaan perpindahan panas, namun cara ini tidak fleksibel karena harus merubah konstruksi dari heat exchanger itu sendiri. Oleh karena itu digunakan cara lain untuk meningkatkan efisiensi dari heat exchanger yaitu dengan meningkatan koefisien perpindahan panas dari fluida kerja.

Peningkatan perpindahan panas dari fluida kerja dapat dilakukan dengan mengganti ienis fluida konvensional (air) dengan fluida yang memiliki kemampuan menghantarkan panas yang lebih baik yaitu fluida dengan partikel tersuspensi. Penggunaan fluida dengan partikel tersuspensi sebagai fluida kerja merupakan suatu cara baru dalam inovasi heat exchanger. Fluida dengan partikel tersuspensi dirancang dengan cara menambahkan partikel-partikel kecil pada sebuah fluida konvensional. Penambahan partikel tersebut mampu meningkatkan kemampuan menghantarkan panas dari fluida hingga 40% (Choi et wieve al, 1999).

Selain itu, penggantian jenis fluida dasar yang berbeda juga mampu digunakan untuk meningkatkan performa dari heat exchanger. Sebagaimana yang dijelaskan dalam penelitian Xu et al. (2015) bahwa peningkatan konduktivitas termal tidak hanya bergantung pada konsentrasi penambahan partikel dan temperatur saja, melainkan juga dipengaruhi oleh properties dari fluida yang digunakan. Contohnya adalah penggantian fluida kerja air oleh ethylene glycol pada daerah dengan suhu ekstrem. Dengan titik beku yang lebih rendah dan titik didih yang lebih tinggi, ethylene glycol mampu beroperasi di daerah dengan suhu -10°C tanpa menyebabkan pembekuan pada fluida kerjanya. Namun, ethylene glycol memiliki wijaya konduktivitas termal yang jauh lebih rendah dibandingkan air. has Brawijaya Universitas Bra

Dalam mengatasi masalah tersebut, pencampuran antara air dan ethylene glycol sebagai fluida kerja dapat dilakukan, sehingga mampu meningkatkan titik didih dan titik beku fluida campuran, dengan tetap menjaga nilai konduktivitas termal fluida kerja. Selain



2

itu, dengan melakukan penambahan mikropartikel CuO (Tembaga Oksida) pada fluida kerja juga akan menambah konduktivitas termal dari campuran (Eastman et al, 2001).

Untuk menerapkan teknologi fluida dengan partikel tersuspensi ini dalam suatu *heat exchanger*, kebutuhan akan pompa tidak dapat dihindarkan, karena fluida kerja tetap harus dialirkan agar terjadi perpindahan panas secara terus menerus. Pompa adalah alat yang digunakan untuk memindahkan cairan (fluida) darisuatu tempat ke tempat yang lain,melalui media pipa (saluran) dengan cara menambahkan energi pada cairan yang, dipindahkan. Pompa beroperasi dengan prinsip membuat perbedaan tekanan antara bagian isap (*suction*) dan, bagian tekan (*discharge*) (Musyafa et al, 2015). Diantara banyaknya tipe pompa, yang paling sering digunakann pada *heat exchanger* adalah pompa sentrifugal. Pompa sentrifugal banyak digunakan karena daerah operasinya yang luas yaitu dari tekanan rendah hingga tekanan tinggi dan dari kapasitas rendah hingga kapasitas tinggi. Selain itu pompa sentrifugal juga mempunyai bentuk yang sederhana dan harga yang relatif murah (Bramantya et al, 2007).

Dalam perkembangan teknologi fluida dengan partikel tersuspensi pada *heat exchanger*, penelitian mengenai pengaruh penggunaan fluida kerja fluida dengan partikel tersuspensi terhadap performa perpindahan panas dari *heat exchanger* telah banyak dilakukan. Namun penelitian mengenai pengaruh penggunaan fluida dengan partikel tersuspensi terhadap performa pompa, terutama pompa berjenis sentrifugal yang merupakan pompa yang digunakan pada *heat exchanger* pada umumnya masih belum dikembangkan hingga kini. Jika dianalisa lebih mendalam, dengan adanya penambahan fluida dengan partikel tersuspensi pada fluida yang mengalir di *heat exchanger* juga akan mempengaruhi performa dari pompa yang mengalirkan fluida dengan partikel tersuspensi tersebut, pengaruh tersebut meliputi nilai kapasitas, head, torsi, daya poros, daya air, dan efisiensi dari pompa.

Dengan beberapa jenis mikropartikel dan fluida penukar panas yang tersedia saat ini, pemilihan mengenai kombinasi fluida dan mikropartikel yang benar agar memberikan dampak yang baik harus dianalisa terlebih dahulu. Selain itu, komposisi jumlah atau persentase dari mikropartikel yang ditambahkan dalam fluida juga harus dianalisa, karena dengan jumlah yang berbeda maka akan memberikan efek yang berbeda terhadap sifat aliran seperti pada viskositas aliran, konduktivitas termal fluida dan lain-lain.

Berdasarkan latarbelakang yang telah disebutkan sebelumnya, diperlukan penelitian lebih lanjut mengenai analisis pengaruh variasi persentase mikropartikel dan variasi fluida dengan partikel tersuspensi terhadap karakteristik pompa csentrifugal. Dimana

mikropartikel yang akan digunakan adalah CuO dan jenis fluida dengan partikel tersuspensi sa Brawilaya yang digunakan adalah campuran antara air dan ethylene glycol.

#### Rumusan Masalah

Rumusan-masalah dari penelitian ini adalah mengetahui pengaruh variasi persentase massa mikropartikel dalam fluida dengan partikel tersuspensi ethylene glycol-air terhadap karakteristik pompa sentrifugal. Karakteristik tersebut meliputi kapasitas, head, torsi, daya poros, daya air, dan efisiensi.

#### awi aya 1.3 Batasan Masalah

Agar pembahasan pada penelitian ini tidak meluas, maka dalam penulisan skripsi ini diberikan batasan sebagai berikut.

- 1. Aliran fluida dianggap *steady* dan mengalir sepanjang streamline.
- 2. Pengambilan data diambil pada turbulent fully developed region.
- 3. Campuran mikropartikel dengan fluida dasar dianggapa homogen.
- 4. Temperatur ruangan dan tekanan ruangan dianggap konstan.

#### **Tujuan Penelitian**

Tujuan dari penelitian ini adalah:

- 1. Mengetahui apa pengaruh dari penggunaan fluida campuran ethylene glycol-air terhadap nilai head, torsi, daya poros, daya air, dan efisiensi dari pompa sentrifugal?
- 2. Mengetahui apa pengaruh penambahan persentase jumlah mikropartikel CuO dari 0%, 0,5%, 1%, 1,5% dan 2% ke dalam fluida campuran ethylene glycol-air terhadap nilai head, torsi, daya poros, daya air, dan efisiensi dari pompa sentrifugal?

#### **Manfaat Penelitian**

Manfaat penelitian ini adalah: Brawijaya Universitas Brawijaya

- 1. Sebagai lahan penerapan ilmu pengetahuan perkuliahan dalam bidang penelitian Universitas Brawijaya tas Brawijaya Universitas Brawijaya tentang Pompa sentrifugal
- 2. Sebagai referensi dalam penelitian mengenai fluida dengan partikel tersuspensi sebagai fluida kerja pompa sentrifugal
- wijaya 3. Sebagai bahan referensi bagi penelitian selanjutnya. Wersitas Brawijaya
  - Menambah wawasan mengenai proses pengujian karakteristik pompa sentrifugal.



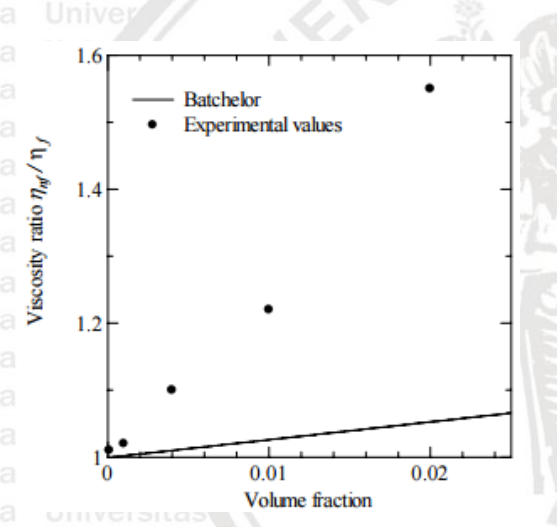
wijaya



### Universitas BAB II TINJAUAN PUSTAKA

#### 2.1 Penelitian Sebelumnya

Penelitian mengenai perpindahan kalor dengan cara konveksi melalui nano particle suspension dan air, dimana air berfungsi sebagai fluida dasar telah dilakukan oleh Torii (2007) dengan hasil bahwa hal tersebut menyebabkan terjadinya perubahan pada nilai konduktivitas termal serta menyebabkan terjadinya peningkatan nilai viskositas dari fluida. Selain itu, penelitian yang dilakukan oleh Bozorgan et al. (2012) juga memperkuat penyataan tersebut dengan hasil penelitian yang menyatakan bahwa penambahan mikropartikel pada fluida dasar air akan menyebabkan peningkatan densitas dan viskositas pada fluida campuran tersebut. Penentuan nilai viskositas suatu fluida dengan penambahan partikel dilakukan menggunakan metode Batchelor modelling yang merupakan metode matematis yang dipopulerkan oleh Batchelor dan Einstein (Labanda et al. 2004).



Wilaya Gambar 2.1 Perubahan nilai viskositas terhadap konsentrasi partikel Sumber: Torii (2007,p.354)

Penggunaan metode penambahan partikel logam dalam dunia industri yang mulai berkembang menyebabkan banyak penelitian dilakukan. Contohnya pada penelitian mengenai penambahan mikropartikel CuO (Tembaga Oksida) pada fluida air yang dilakukan oleh Bozorgan et al. (2012) yang menyatakan bahwa terjadinya peningkatan koefisien perpindahan panas pada fluida yang dicampurkan dengan CuO dengan konsentrasi yang terus meningkat dan juga terjadi peningkatan pada densitas dan viskositas pada fluida dengan terus meningkatnya kadar mikropartikel CuO yang ditambahkan.

universitas Brawijaya Universitas Brawijaya Universitas Brawijaya Universitas Brawijaya Universitas Brawijaya Universitas Brawijaya Universitas Brawijaya

Selain penambahan mikropartikel pada fluida, salah satu cara untuk memenuhi kebutuhan atas performa heat exchanger yang lebih baik, penggantian jenis fluida kerja juga bisa dilakukan. Sebagaimana yang dijelaskan dalam penelitian Xu et al. (2015) bahwa peningkatan konduktivitas termal tidak hanya bergantung pada konsentrasi penambahan partikel dan temperatur saja, melainkan juga dipengaruhi oleh properties dari fluida yang digunakan. Salah satu contohnya adalah pada penggantian air oleh ethylene glycol sebagai fluida kerja pada heat exchanger di daerah yang sangat dingin karena memiliki titik didih yang lebih tinggi dan titik beku yang lebih rendah dari pada air (Haq et al, 2016). Selain itu dengan penggunaan ethylene glycol sebagai fluida kerja secara tidak langsung juga akan memberikan pengaruh pada sistem karena densitas dan viskositas ethylene glycol yang lebih tinggi dari pada air.

Namun, ethylene glycol memiliki kelemahan yaitu konduktivitas termal yang lebih rendah dari pada air. Untuk menangani masalah itu, penambahan mikropartikel CuO pada fluida kerja ethylene glycol dilakukan untuk tetap menjaga performa heat exchanger. Sebagaimana yang dijelaskan oleh Eastman et al. (2001) bahwa dengan pencampuran 0.3% (persen volume) mikropartikel CuO dengan ethylene glycol sebagai fluida kerja, mampu memberikan hasil berupa peningkatan konduktivitas termal heat exchanger sebesar 40%. Akan lebih baik lagi apabila fluida kerja yang digunakan terdiri dari campuran ethylene glycol dan air sehingga kapasitas titik beku dan titik didih tetap meningkat dengan nilai konduktivitas termal yang tetap tinggi. Sebagaimana yang telah diketahui sebelumnya, dengan adanya penambahan mikropartikel CuO dan juga penggantian fluida kerja dari air menjadi campuran ethylene glycol dan air, maka densitas dari fluida kerja akan meningkat dan juga akan berdampak kepada viskositas fluida kerja yang semakin tinggi.

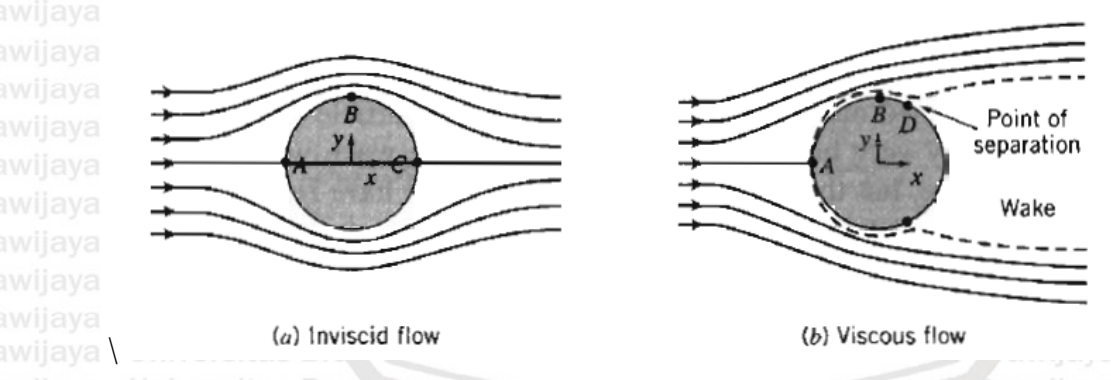
Dengan adanya pengaruh tersebut, maka hal ini akan mempengaruhi kinerja dari pompa yang digunakan. Menurut penelitian Arijanto et al. (2015) didapatkan kesimpulan bahwa dengan semakin tingginya nilai viskositas fluida yang dialirkan, maka nilai dari *head* pompa akan semakin mengecil dan daya poros dari pompa akan semakin membesar. Selain itu, nilai debit dari pompa yang digunakan akan semakin kecil juga dan pada akhirnya nilai efisiensi dari pompa akan mengalami penurunan.

Pada penelitian ini, penulis akan memvariasikan jumlah mikropartikel CuO yang akan ditambahkan pada campuran *ethylene glycol*-air sebagai fluida kerja pompa, dimana hasil tersebut akan dibandingkan dengan pengaruh penambahan CuO pada fluida kerja air biasa.

### wijaya 2.2 Fluida Brawijaya

Menurut Ridwan (1999) pengertian dari fluida adalah zat dengan karakteristik tidak dapat menahan tegangan geser tanpa adanya perubahan bentuk. Penyebabnya adalah sifat fluida yang selalu memperlihatkan adanya perubahan bentuk ketika adanya tegangan geser yang dikenakan padanya. Berbeda dengan zat padat dimana akan memberi reaksi deformasi hingga ukuran tertentu ketika diberi tegangan geser. Selain itu, Fox et al. (2003) juga memberikan definisi yang tidak jauh berbeda yaitu dengan mengartikan fluida sebagai zat yang akan mengalami deformasi setiap diberikan tegangan geser dengan nilai yang sangat s Brawijaya

Dalam pengklasifikasian aliran fluida secara umum, berdasarkan sumber Cengel dan Cimbala (2006), pengklasifikasian aliran fluida dibedakan berdasarkan beberapa patokan. Pertama-tama menurut pengaruh gaya gesek yang dihasilkan oleh fluida. Berdasarkan hal ini, aliran fluida dibedakan menjadi viscous flows dan inviscid flows. Inviscid flows adalah jenis aliran fluida yang tidak memperlihatkan adanya pengaruh gaya gesek yang signifikan sehingga sering diabaikan. Sebaliknya, viscous flows adalah jenis aliran yang memperlihatkan adanya pengaruh gaya gesek yang signifikan.

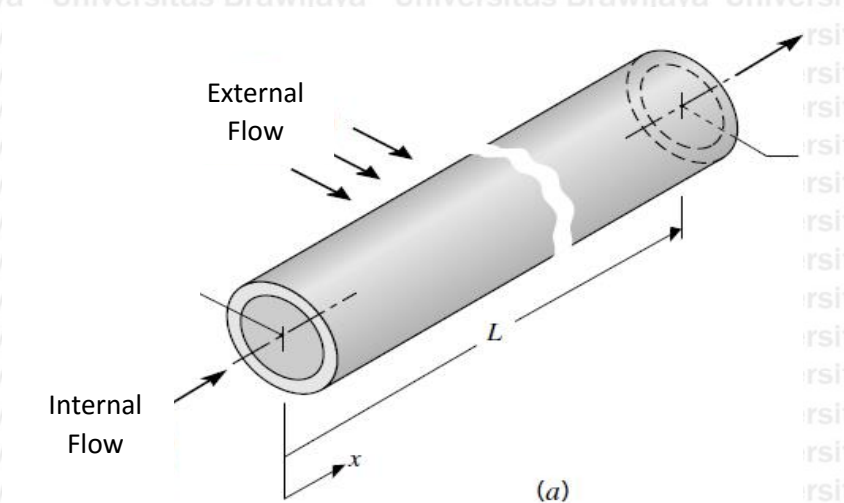


Gambar 2.2 Aliran inviscid dan aliran viscous Sumber: Fox et al. (2004.p.37)

Jenis aliran fluida yang kedua adalah penggolongan berdasarkan daerah dari fluida yang dikenakan gaya. Disini aliran fluida dibedakan menjadi aliran dalam (internal flow) dan aliran luar (external flow). Aliran dalam merupakan aliran yang mana fluidanya mengalir didalam suatu saluran, seperti aliran pada pipa. Sedangkan aliran luar merupakan aliran fluida yang mana alirannya tidak tergantung dengan saluran dan mengalir melalui permukaan luar.



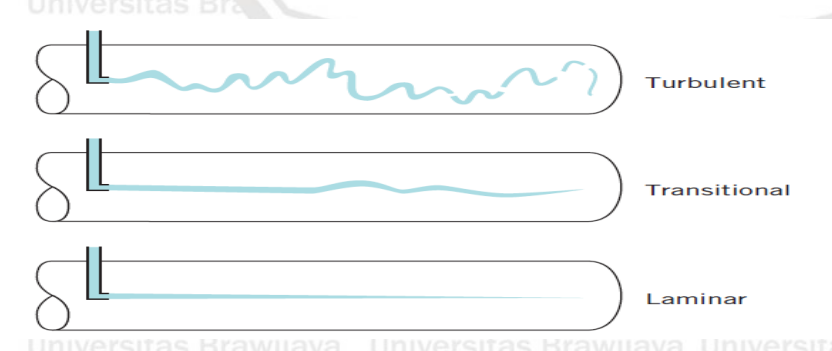
wija 8a



*Gambar 2.3* Aliran internal dan eksternal Sumber: Moran et al. (2003,p.632)

Jenis berikutnya digolongkan berdasarkan kemampuan dari fluida itu untuk dimampatkan. Disini, fluida dipisahkan menjadi compressible fluid dan incompressible fluid. Fluida dengan karakteristik nilai density yang bisa berubah ketika mengalir disebut compressible fluid. Sedangkan fluida yang tidak dapat mengalami perubahan nilai density disebut sebagai incompressible fluid.

Menurut sifat dari aliran suatu fluida, diklasifikasikanlah tiga jenis aliran yang berbeda yaitu aliran fluida laminar, aliran fluida turbulen dan aliran fluida transisi. Aliran laminar merupakan aliran yang terlihat halus seperti garis-garis lurus, sedangkan aliran turbulen merupakan aliran fluida yang memiliki kecepatan yang mengalami fluktuasi dan terlihat kasar. Dan aliran transisi merupakan aliran fluida yang kondisinya baik kecepatan maupun bentuknya berada di antara atau di tengah tengah dari sifat aliran turbulen dan aliran laminar.



Gambar 2.4 Aliran laminar, transisi, dan turbulen Sumber: Munson et al. (2009,p.385)

Menurut penyebab fluida tersebut mengalir, aliran fluida dibedakan menjadi aliran alami dan aliran paksa. Aliran alami adalah fluida yang mampu mengalir tanpa adanya gaya tambahan yang digunakan untuk mengalirkan fluida, sedangkan aliran paksa adalah aliran fluida yang membutuhkan adanya gaya tambahan untuk menyebabkan fluida tersebut mampu mengalir.



Gambar 2.5 Fluida natural pada plat miring Sumber: Lienhard IV dan Lienhard V (2006,p.421)

Dan yang terakhir adalah menurut kondisi fluida terhadap dimensi waktu. Disini, aliran fluida dibedakan menjadi *steady flow* dan *unsteady flow*. *Steady flow* adalah aliran fluida yang memiliki kondisi seragam di setiap titik aliran dan akan tetap seperti itu setiap waktu, sedangkan *unsteady flow* adalah aliran fluida yang memiliki kondisi yang berbeda-beda dan kondisinya akan berubah ketika terjadi perubahan waktu.

### 2.3 Properties Fluida Cair

#### 1. Densitas

Densitas atau massa jenis fluida merupakan nilai dari massa fluida per satuan volume yang dihitung pada nilai temperatur dan tekanan tertentu. Densitas biasa ditulis dengan simbol (ρ). Dalam perhitungan, persamaan dari densitas dapat ditulis:

Universitas Brawijaya Universitas Brawijaya Universitas Brawijaya Universitas Brawijaya Univ
$$\rho = \frac{m}{v}$$
 (kg/m³).....(2-1) stas Brawijaya

dimana : m = massa (kg)

Univer  $\rho = \text{massa jenis (kg/m}^3)$  sitas Brawijaya Universitas Brawijaya

 $v = volume (m^3)$ 

### wijaya 2. Berat Jenis Brawijaya

Setiap zat memiliki berat jenis yang berbeda-beda. Berat jenis pada fluida dapat didefinisikan sebagai perbandingan antara nilai berat fluida dengan volume dari fluida.

Berat jenis juga sering disebut sebagai berat spesifik. Dalam perhitungan untuk mengetahui nilai dari berat jenis fluida, digunakan persamaan:

$$\gamma = \frac{m \times g}{v} \quad (N/m^3)... \qquad (2-2) \text{ versitas Brawijaya}$$

Persamaan diatas juga dapat ditulis dengan persamaan:

Un 
$$\gamma = \rho$$
 g s  $\Gamma(N/m^3)$  va. Universitas Brawijava Universitas Brawijava (2-3) versitas Brawijava

dimana :  $\gamma$  = berat jenis (N/m<sup>3</sup>)

m = massa (kg)

 $\rho = \text{massa jenis ( kg/m}^3)$ 

 $g = percepatan gravitasi (m/s^2)$ 

 $v = volume (m^3)$ 

### 3. Spesific Gravity

Spesific gravity yang biasa disebut dengan istilah densitas relatif merupakan bilangan tak berdimensi yang diperoleh dari perbandingan antara nilai densitas suatu zat dibandingkan dengan nilai densitas dari zat standar pembanding air pada temperatur 4°C. Persamaan dari specific gravity dapat ditulis:

$$SG = \frac{\rho}{\rho_{H2O}}$$
 (2-4) ersitas Brawijava

dimana :  $\rho$  = massa jenis ( kg/m<sup>3</sup>)

 $\rho_{H2O}$  = massa jenis ( kg/m<sup>3</sup>)

## 4. Viskositas

Viskositas merupakan properties dari fluida yang sering dianalisa karena sangat mempengaruhi sifat suatu aliran. Viskositas fluida memiliki arti sebagai ukuran ketahanan suatu fluida terhadap adanya tegangan geser. Viskositas atau yang juga sering disebut dengan viskositas absolut terjadi karena adanya gesekan internal yang terus berkembang di tiap lapisan fluida karena lapisan-lapisan itu dipaksa untuk bergerak secara relatif satu dan lainnya. Disamping itu, adanya gaya kohesi partikel pada zat cair juga menjadi penyebab terjadinya viskositas pada suatu fluida. Viskositas suatu fluida sangat dipengaruhi oleh tegangan geser. Tegangan geser sendiri adalah gaya tangensial yang dikenakan per satuan luasan pada fluida. Untuk mengetahui keterkaitan antara viskositas dan tegangan geser, dapat dilihat pada persamaan berikut:

$$\tau = \mu \frac{du}{dy}$$
 (N/m²) Universitas Brawijaya Universitas Brawijaya Universitas Brawijaya Universitas Brawijaya (2-5)

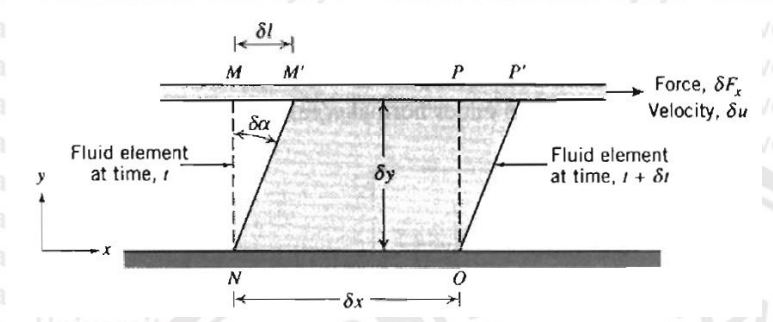
keterangan:  $\mu = viskositas absolut (kg/m.s)$ 

 $\tau = \text{tegangan geser } (\text{N/m}^2)$ 

Universitas Bra du = komponen kecepatan (m/s)

Universitas Bra dy = kompnen arah (m)

Untuk mengetahui lebih jelasnya mengenai hubungan viskositas dengan gaya geser, s Brawllaya dapat dilihat pada gambar 2.6



Gambar 2.6 Sifat fluida di antara dua plat paralel ketika plat atas bergerak dengan kecepatan konstan

Sumber: Fox et al. (2004,p.27)

Dalam pembahasan viskositas, istilah viskositas kinematik juga merupakan hal yang selalu disebutkan. Ini disebabkan oleh nilai dari rasio viskositas absolut dan densitas suatu zat sering diperoleh dalam penerapan ilmu mengenai mekanika fluida dan perpindahan panas. Sedangkan pengertian dari viskositas kinematik sendiri adalah nilai yang didapat dari perbandingan antara nilai viskositas absolut dari suatu fluida dibandingkan dengan densitas fluida. Dalam perhitungan, viskositas kinematik dapat dihitung menggunakan persamaan berikut:

$$v = \frac{\mu}{\rho}....(2-6)$$

keterangan :  $v = viskositas kinematik (m^2/s)$ 

Universitas Braw  $\rho$  = densitas (kg/m<sup>3</sup>) Brawijaya

μ = viskositas absolut (kg/m.s)

### 2.4 Fluida Dinamis

### wijava 2.4.1 Persamaan Kontinuitas versitas Brawijava Universitas Brawijava

Persamaan kontinuitas merupakan persamaan yang diperoleh dari penerapan hukum kekekalan massa yang diterapkan pada fluida dinamis dengan penjelasan bahwa jumlah dari fluks massa alir fluida yang melewati suatu sistem terbatas (control volume) yang tertutup



akan selalu bernilai tetap (Ridwan, 1999). Serupa dengan hal tersebut, Cengel dan Cimbala (2006) mengatakan bahwa jumlah dari fluks massa alir fluida yang masuk ke suatu kontrol volume akan sama dengan jumlah fluks massa alir yang keluar dari kontrol volume tersebut.

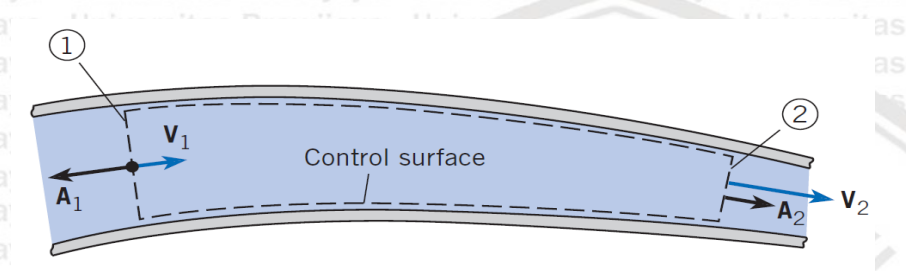
$$\dot{\mathbf{m}}_1 - \dot{\mathbf{m}}_2 = \frac{dm_{cv}}{dt} = 0 \tag{2-7}$$

Sehingga

$$\dot{m}_1 - \dot{m}_2 = 0$$
 ...... (2-8)

$$\dot{m}_1 = \dot{m}_2$$
 rawijava. Universitas Brawijava. Universitas Brawijava. (2-9) versitas Brawijava.

$$(\rho A v)_1 = (\rho A v)_2$$
 (2-10)



*Gambar 2.7* Aliran fluida berdasarkan hukum kontinuitas Sumber: Crowe et al. (2009,p.135)

Apabila persamaan tersebut diterapkan menggunakan sifat dari fluida *incompressible* dengan tidak adanya perubahan pada nilai densitas maka dapat ditulis

$$A_1 \ v_1 = A_2 \ v_2 \dots (2-11)_{\text{existas Brawijava}}$$

Keterangan:

 $A_1$  = luas penampang daerah masuk (m<sup>2</sup>)

 $A_2$  = luas penampang daerah keluar (m<sup>2</sup>)

 $v_1$  = kecepatan aliran pada sisi penampang masuk (m/s)

v<sub>2</sub> = kecepatan aliran pada sisi penampang keluar (m/s)

 $dm_{cv}$  = perubahan massa pada kontrol volume (kg)

dt Iver= perubahan nilai waktu (s) kas Brawijaya Universitas Brawijaya

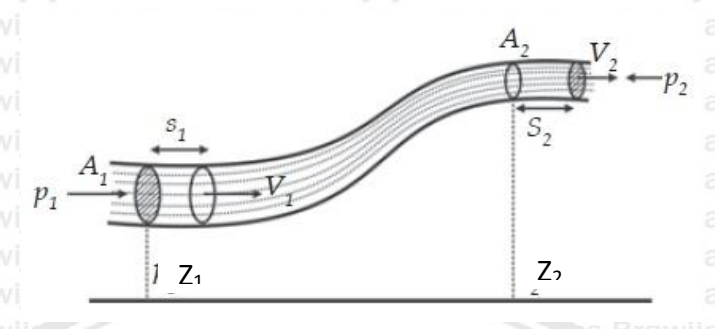
 $\dot{m}_1$  = massa alir pada sisi penampang masuk (kg/s)

m2 ve = massa alir pada sisi penampang keluar (kg/s) versitas Brawijaya

### nwija 2.4.2 | Persamaan Bernoulli Universitas Brawijaya Universitas Brawijaya

Berdasarkan sumber dari Cengel dan Cimbala (2006), persamaan Bernoulli didefinisikan sebagai persamaan fluida yang menghubungkan antara nilai kecepatan, tekanan dan elevasi dan dapat diterapkan apabila fluida yang dipakai adalah fluida

incompressible, dengan aliran steady, serta tidak ada gaya gesek yang bekerja (inviscid fluid). Sedangkan menurut Fox et al. (2003), hal serupa pun dikatakan mengenai persamaan Bernoulli namun dengan adanya syarat tambahan yaitu penerapan prinsip Bernoulli hanya dapat dilakukan di sepanjang streamline suatu aliran.



*Gambar 2.8* Skema aplikasi persamaan Bernoulli Sumber: Ridwan (1999,p.27)

Sebagaimana yang dapat dilihat pada gambar 2.8, dapat dilihat pada posisi 1, tekanan pada air bernilai P<sub>1</sub>, luas penampang bernilai A<sub>1</sub> dan kecepatan aliran pada *streamline* bernilai V<sub>1</sub>. Ketika aliran pada titik tersebut telah mencapai posisi 2 dengan ukuran penampang yang diperkecil maka akan terlihat terjadinya perubahan bentuk energi. Sehingga, tekanan pada P<sub>2</sub> akan mengalami penurunan dan nilai kecepatan V<sub>2</sub> akan mengalami kenaikan. Meskipun terjadi perubahan pada kecepatan dan tekanan, namun jumlah energi total yang terkandung pada posisi 1 dan posisi 2 akan bernilai sama.

Secara umum, bentuk dari persamaan Bernoulli ditulis

$$Z_1 + \frac{P_1}{\rho g} + \frac{{v_1}^2}{2g} = Z_2 + \frac{P_2}{\rho g} + \frac{{v_2}^2}{2g} \dots (2-12)$$

keterangan:

Z = head statis fluida (elevasi) (m)

 $\frac{v^2}{2g}$  = head kecepatan fluida (m)

 $\frac{P}{\rho g} = head \text{ tekanan fluida (m)}$ 

### 2.4.3 Bilangan Reynolds

Bilangan Reynolds merupakan angka tak berdimensi yang didapatkan dari perbandingan nilai gaya inersia yang dibandingkan dengan gaya viskos suatu aliran (Cengel dan Cimbala, 2006). Perbandingan dari gaya inersia dan gaya viskos akan menentukan bentuk *regime* dari suatu aliran apakah laminar, turbulen atau pun transisi. Nilai dari

perbandingan tersebut itu sendiri juga dipengaruhi oleh beberapa hal yaitu geometri, kecepatan suatu aliran, kekasaran dari permukaan, temperatur permukaan dan yang tidak kalah penting adalah jenis dari fluida yang mengalir.

Persamaan bilangan Reynolds dapat ditulis

$$Re = \frac{gaya \ inersia}{gaya \ viskos} = \frac{V_{avg}D}{v} = \frac{\rho V_{avg}D}{\mu}.$$
 (2-13)

keterangan:

 $V_{avg}$  = kecepatan aliran fluida rata-rata (m/s)

 $v = \frac{\mu}{\rho}$  = viskositas kinematik (m<sup>2</sup>/s)

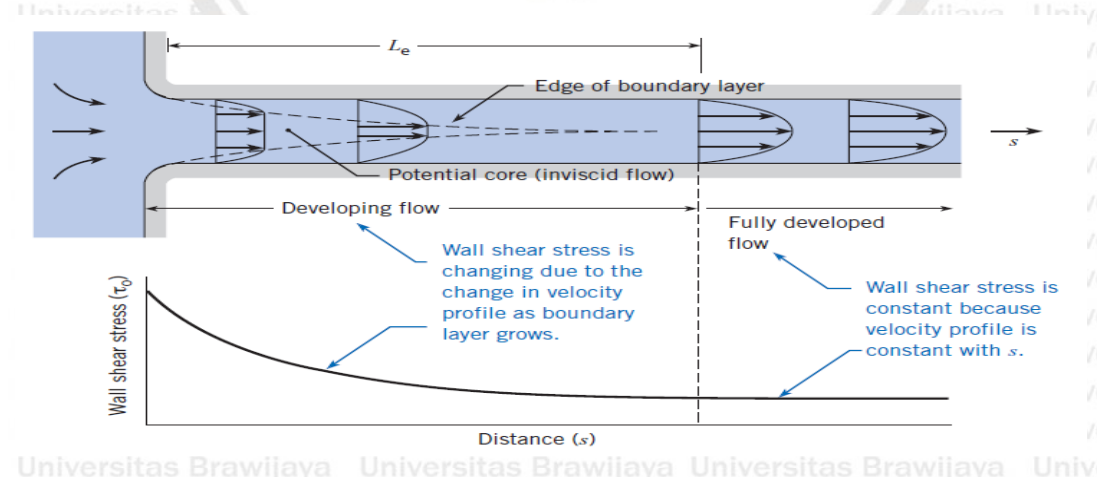
 $\mu$  = viskositas absolut (kg/m.s)

 $\rho$  iversi = Bradensitas (kg/m<sup>3</sup>)

D = karakteristik panjang geometri (m)

### 2.4.4 The Entrance Region

Pengamatan perlu dilakukan pada *entrance region* (daerah masuk) dari fluida. Hal ini dilakukan karena fluida akan mengalami perubahan kecepatan ketika memasuki saluran. Sebelum fluida memasuki saluran, kecepatan dari fluida akan terlihat seragam, namun ketika fluida memasuki saluran, lapisan fluida yang terdapat pada sisi terluar akan bersentuhan dengan permukaan dari saluran dan mengakibatkan terhambatnya fluida yang berada pada daerah terluar karena pengaruh gaya gesek sehingga kecepatan fluida pada dinding saluran sama dengan kecepatan dinding saluran (*no slip*). Dengan adanya viskositas dari fluida, akibat gesekan tersebut kecepatan lapisan–lapisan fluida lainnya juga ikut terhambat sehingga kecepatannya pun ikut menurun secara bertahap (Cengel dan Cimbala, 2006).



Gambar 2.9 Kondisi aliran ketika masuk pipa Sumber: Crowe et al. (2009,p.318)

Sebagaimana yang terlihat pada gambar 2.9, boundary layer atau lapisan batas terus mengalami penebalan mengikuti arah dari aliran fluida. Penebalan ini terus terjadi sepanjang wilayah dari sisi *inlet* saluran hingga pada bagian dimana *boundary layer* menyatu dengan garis tengah. Nilai dari panjang daerah tersebut dinyatakan dengan nilai dari entrance length (L<sub>e</sub>). Sedangkan aliran masuk yang terus mengalami perubahan penebalan pada entrance region disebut developing flow. Ketika aliran fluida tidak lagi mengalami perubahan penebalan, maka aliran tersebut telah sempurna dan aliran ini disebut fully developed flow. Profil garis kecepatan fully developed flow pada aliran laminar akan berbentuk seperti parabola ketika dihubungkan satu sama lain (Crowe et al, 2009). Sedangkan untuk aliran turbulen, profil garis kecepatannya akan berbentuk lebih datar. Ketika aliran telah menjadi fully developed, maka daerah dari aliran tersebut akan berubah dari yang sebelumnya entrance region menjadi daerah baru yang disebut fully developed region (Cengel dan Cimbala, 2006).

Dapat disimpulkan bahwa *entry length* adalah panjang saluran fluida yang diperlukan agar tercapainya profil fluida yang memiliki kondisi fully developed. Dalam perhitungan, entry length merupakan fungsi dari Reynolds number dari aliran. Pada aliran dengan jenis laminar, nilai dari entry length adalah

$$L_{e,laminar} = 0.05 \text{ Re D}$$
 (2-14)

wijaya Dan untuk aliran dengan jenis turbulen, panjangnya adalah

$$L_{e,turbulen} = 1.359 D (Re)^{1/4}$$
 ......(2-15)

Dimana Re adalah Reynolds number dan D merupakan diameter dari saluran. Jika dilihat dari persamaan diatas, dapat disimpulkan bahwa panjang masuk untuk aliran dengan jenis turbulen lebih pendek jika dibandingkan dengan panjang saluran dari aliran laminar untuk mencapai kondisi fully developed pada diameter dan Reynolds number yang sama. Pada penerapannya, fully developed flow diperkirakan akan terjadi setelah fluida melewati entry length dengan nilai panjang yang melebihi sepuluh kali dari nilai diameter pipa.

$$L_{\text{e,turbulen}} = 10 \text{ D}$$
.....(2-16)

Beberapa penulis juga memberikan rekomendasi yang berbeda-beda, seperti Nikuradse yang memberikan rekomendasi panjang entry length sepanjang 40 kali diameter dari saluran dan berbeda lagi, Lien et al. (2004) memberikan saran untuk menggunakan ukuran 150 kali diameter saluran dalam menentukan entry length pada aliran fluida dengan Reynolds number yang tinggi pada aliran dengan jenis turbulen.



#### 2.5 Fluida Dasar

Fluida dasar merupakan fluida utama yang digunakan sebagai alat penukar panas las Brawllaya pada suatu heat exchanger. Fluida dasar terdiri dari beberapa jenis fluida cair, namun dalam penanganan perpindahan panas di daerah dengan suhu dingin yang cukup rendah biasanya hanya fluida dasar berupa air dan ethylene glycol yang sering dimanfaatkan.

#### 1. Air

Air merupakan fluida dasar yang paling umum digunakan sebagai fluida pemindah panas, rumus kimia dari air adalah H<sub>2</sub>O. Air memiliki *properties* berupa densitas sebesar 0,99982 g/cm<sup>3</sup> pada temperatur 20 °C untuk tekanan 1 atm. Sedangkan viskositasnya bernilai 1,015 mPa.s pada temperatur 20 °C. Titik beku air sendiri adalah pada suhu 0 °C untuk tekanan 1 atm dan titik didihnya adalah sebesar 100 °C pada tekanan 1 atm (Bohne et al, 2015). Sedangkan nilai konduktivitas termal dari air adalah sebesar 0,613 W/m.K

#### 2. Ethylene Glycol

Ethylene glycol memiliki berat yang lebih besar jika dibandingkan dengan air. Nilai viskositas nya pada suhu 25 °C tekanan 1 atm adalah sebesar 16,63 mPa.s. Sedangkan nilai dari densitasnya adalah sebesar 1,11264 g/cm³ pada temperatur 19,6 °C. Selain itu titik didih dan titik beku dari ethylene glycol juga lebih tinggi daripada air. Titik didih ethylene glycol berada pada temperatur 197,1 °C pada tekanan 1 atm dan membeku pada temperatur -13 °C pada tekanan 1 atm (Bohne et al, 2015). Hal ini dapat memberikan solusi bagi penggunaan mesin penukar panas untuk daerah yang ekstrem, sehingga mampu mencegah terjadinya pembekuan pada fluida kerja (Haq et al, 2016). Namun dalam segi konduktivitas termal, ethylene glycol memiliki nilai konduktivitas termal yang lebih rendah jika dibandingkan dengan konduktivitas termal air biasa yaitu 0,613 W/m.K sedangkan ethylene glycol hanya memiliki nilai konduktivitas termal sebesar 0,253 W/m.K

### 3. Campuran Ethylene Glycol-Air

Untuk memenuhi kekurangan yang dimiliki oleh masing-masing fluida dasar, maka penggabungan antara fluida dasar air dan ethylene glycol pun dilakukan. Penelitian mengenai pencampuran ethylene glycol dan air terhadap peningkatan konduktivitas termal juga cukup banyak dilakukan, seperti yang dilakukan oleh Bohne et al. (2015), Namburu et al. (2007) dan Haq et al. (2016). Menurut Namburu et al. (2007) pencampuran ethylene glycol dengan air dengan perbandingan volume 60:40 adalah pencampuran yang paling sering digunakan pada daerah sub-artik dan artik seperti pada wilayah Alaska. Campuran ethylene glycol dan air juga sering digunakan sebagai fluida pendingin dalam sistem



pendingin *chiller*. Pencampuran ini akan memberikan *properties* fluida kerja yang khusus pula seperti nilai viskositas sebesar 8 cP (centi poise) pada temperatur 20 °C.

### 2.6 Mikropartikel

Mikropartikel merupakan material dengan ukuran nanometer atau sama dengan satu per satu miliar meter. Pada penelitian ini, mikropartikel yang digunakan adalah mikropartikel CuO (Tembaga Oksida). Mikropartikel yang digunakan pada penelitian diperoleh dari pembelian secara impor dari negara Amerika Serikat dengan karakteristik s Brawijaya yang telah memenuhi standar mikropartikel.

Mikropartikel CuO atau biasa disebut juga copper (II) oxide merupakan serbuk berwarna hitam dengan massa molekul 79,545 g/mol dan densitas 6,315 g/cm<sup>3</sup>. Mikropartikel CuO telah banyak digunakan dalam penelitian aplikasi fluida dengan partikel tersuspensi salah satunya dilakukan oleh Wael et al. (2016) dan Aliabadi (2015). Universitas Brawijaya

### 2.7 Fluida dengan partikel tersuspensi

Universitas Brawijaya

Fluida dengan partikel tersuspensi merupakan fluida yang diperoleh melalui proses pencampuran mikropartikel dengan fluida cair sebagai cairan dasarnya. Dalam perkembangan dunia industri saat ini, penggunaan teknologi mengenai fluida dengan partikel tersuspensi terus mengalami pertumbuhan. Ini membuat penelitian mengenai fluida dengan partikel tersuspensi pun gencar dilakukan dan sudah menghasilkan artikel ilmiah yang cukup banyak hingga saat ini. Berdasarkan sumber dari Scopus, jumlah publikasi penelitian mengenai fluida dengan partikel tersuspensi pada tahun 1993 hanya berjumlah satu buah, 17 tahun kemudian yaitu pada tahun 2010 jumlah publikasi penelitian mengenai naofluida meningkat hingga berjumlah 1.847 penelitian (Manca et al, 2010). Selengkapnya, tabulasi mengenai jumlah perkembangan publikasi penelitian mengenai fluida dengan partikel tersuspensi dapat dilihat pada tabel 2.1. Universitas Brawijaya Universitas Brawijaya



Tabel 2.1. Pangkalan Data Jumlah Publikasi Pada Scopus

Year	Nanofluids	Nanofluids and heat transfer	Nanofluids and properties
1993	1	0	0
1995	rawijava <sup>1</sup> Universi	tas Brawliava Univ	versitas Otrawija
1996	2	2	0
1997	hawijaya <sup>2</sup> Universi	tas Brawliava Univ	ersitas Brawija
1999	2	2	1
2000	trawijaya <sup>4</sup> Universi	3	versitas Brawiis
2001	5	2	2
2002	5	2	2
2003	19	9	6
2004	35	23	8
2005	90	50	34
2006	124	62	32
2007	175	89	50
2008	225	107	91
2009	222	109	96
2010	95	54	25
Total	1007	516	351

Sumber: Manca et al. (2010)

Dalam perkembangannya, fluida dengan partikel tersuspensi mengalami popularitas yang cukup besar karena dampak penggunaannya yang cukup menguntungkan dan mudah diaplikasikan dalam dunia industri. Pada penerapannya, fluida dengan partikel tersuspensi berfungsi sebagai fluida kerja pada sistem pertukaran panas. Dengan penggunaan fluida dengan partikel tersuspensi, maka konduktivitas termal dari fluida tersebut akan meningkat jika dibandingkan dengan fluida yang sama tanpa adanya penambahan mikropartikel didalamnya.

Untuk melihat perbedaan nilai konduktivitas termal dari beberapa jenis logam yang sering digunakan sebagai bahan dasar mikropartikel dengan fluida cair yang sering digunakan sebagai fluida dasar pada alat penukar panas, ditampilkan Tabel 2.2 sebagai sumber data yang jelas.

Tabel 2.2 Konduktivitas Termal Logam dan Fluida Pemanas

Golongan Bahan	Bahan	Konduktivitas Termal (W/	mK) sitas Brawijaya
Padatan Logam	Cu (Tembaga)	401	Universitas Brawijaya
	Al (Aluminium)	237 Aversitas Brawijava	Universitas Brawijaya
	Zn (Seng)	116 iversitas Brawijava	Universitas Brawijaya
	Ti (Titanium)	21,9	Universitas Brawijaya
Padatan Non Logam	Si (Silikon)	148 versitas Brawijava	Universitas Brawijaya
	Al <sub>2</sub> O <sub>3</sub> (Alumina)	40 niversitas Brawijava	Universitas Brawijaya
Cairan Logam	Na (Natrium) 644 K	72,3 versitas Brawijava	Universitas Brawijaya
Cairan Non Logam	Air	0,613 ksitas Brawijaya	Universitas Brawijaya
	Ethylene Glikol, 40°C	0,253 Brawijaya	Universitas Brawijaya
	TriEthylene Glikol, 40°C	0,251 awijaya	Universitas Brawijaya
	TetraEthylene Glikol, 40°C	0,207 Yaya	Universitas Brawijaya
	Engine Oil	0,145	Universitas Brawijaya Universitas Brawijaya

Sumber: Zhang et al. (2007)

Berikut merupakan penjelasan dari beberapa fluida dengan partikel tersuspensi yang digunakan dalam penelitian ini:

#### 1. Fluida dengan partikel tersuspensi CuO-Air

Fluida dengan partikel tersuspensi CuO-Air merupakan fluida dengan partikel Brawijaya tersuspensi campuran mikropartikel CuO dengan air (H2O) sebagai fluida dasar. Berdasarkan penelitian yang dilakukan oleh Meybodi (2015), pada temperatur 283 K dan fraksi volume 0,15 %, fluida dengan partikel tersuspensi ini memiliki viskositas sebesar 0,431 mPa.S.

### 2. Fluida dengan partikel tersuspensi CuO-Ethylene Glycol

Fluida dengan partikel tersuspensi CuO-Ethylene Glycol merupakan fluida dengan partikel tersuspensi campuran mikropartikel CuO dengan ethylene glycol sebagai fluida dasar. Berdasarkan penelitian yang dilakukan oleh Garg et al. (2008), penambahan mikropartikel CuO pada ethylene glycol akan menyebabkan viskositas fluida kerja akan meningkat lebih tinggi dibandingkan dengan peningkatan yang terjadi pada konduktivitas wijaya termalnya. as Brawijaya

### 3. Fluida dengan partikel tersuspensi CuO–Campuran Ethylene Glycol dan Air

Univ Fluida dengan partikel tersuspensi CuO-Campuran Air dan Ethylene Glycol dengan s Brawijaya perbandingan volume 40:60 memiliki keunggulan yang paling baik jika dibandingkan wijaya dengan fluida dasar air saja ataupun ethylene glycol saja karena memiliki konduktivitas s Brawijaya

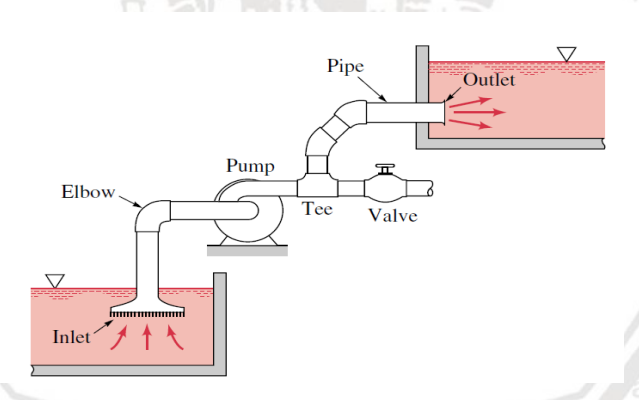


termal yang paling tinggi dan titik beku yang mumpuni untuk diterapkan di daerah ekstrem.

Berdasarkan penelitian yang dilakukan oleh Namburu (2007), pada temperatur 40°C dan fraksi volume 6,142 %, fluida dengan partikel tersuspensi ini memiliki viskositas sebesar 10 cP (*centi poise*).

### 2.8 Pompa

Pompa merupakan salah satu mesin-mesin fluida yang berfungsi sebagai alat untuk mengalirkan fluida cair dari daerah rendah menuju daerah yang lebih tinggi. Jika tidak ada pompa di suatu sistem yang bersirkulasi, maka fluida cair tidak akan mungkin untuk melakukan proses sirkulasi secara terus menerus karena adanya keterbatasan energi dari fluida itu sendiri dan akan menyebabkan fluida kembali. Pompa sering digunakan sebagai pemindah fluida cair dari elevasi yang rendah ke daerah dengan elevasi yang lebih tinggi dan juga sebagai alat pemindah fluida dari satu tempat ke tempat lain. Dalam pengaliran fluida, pompa membutuhkan pipa sebagai saluran pengalir fluida (Bachus dan Custodio, 2003).



Gambar 2.10 Contoh penerapan pompa Sumber: Moran et al. (2003,p.439)

Pompa adalah salah satu mesin konversi energi dengan prinsip kerja mengkonversi bentuk dari energi mekanik yaitu putaran poros, menjadi energi kinetik, energi tekan dan energi potensial atau elevasi sehingga fluida yang awalnya diam dapat dialirkan. Fluida akan dialirkan dari sisi isap pompa sebagai tempat fluida masuk lalu dialirkan menuju sisi tekan sebagai tempat keluar pompa. Pompa memiliki batas nilai *head* maksimum dalam mengalirkan fluida. Apabila fluida yang akan dialirkan berada pada elevasi diluar batas kemampuan pompa, maka pompa tidak akan mampu menghisap fluida cair tersebut (Bachus

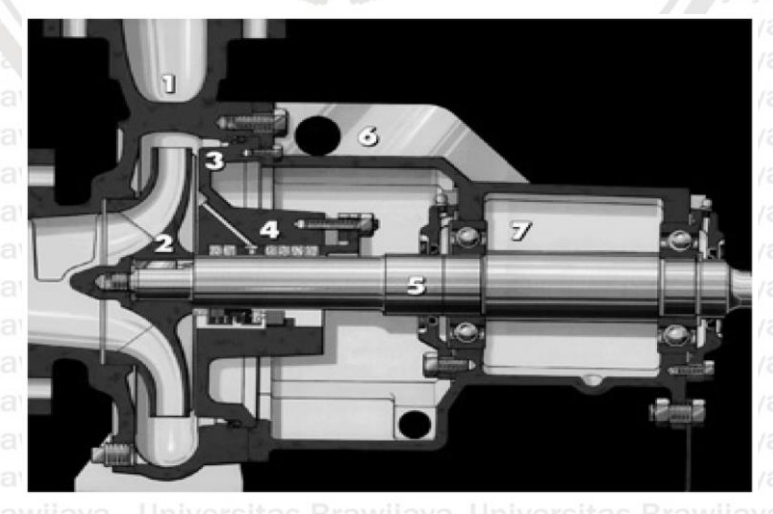
dan Custodio, 2003). Spesifikasi dari pompa dapat dinyatakan dengan jumlah dari fluida yang dialirkan per satuan waktu (kapasitas) dan dan *head* (besarnya energi angkat).

#### 2.8.1 Pompa Sentrifugal

Pompa terdiri dari berbagai macam jenis berdasarkan cara kerja, arah aliran, jenis gerakan, dan lain sebagainya. Dari beberapa jenis pompa, pompa dengan jenis sentrifugal merupakan pompa yang paling sering digunakan. Pompa sentrifugal merupakan pompa yang memanfaatkan gaya sentrifugal untuk memberikan tekanan pada fluida yang dialirkan. Sebagai contoh, pada *petroleum plant* hampir 80-90 % pompa yang digunakan adalah pompa dengan jenis sentrifugal (Girdhar dan Monez, 2005). Hal ini terjadi karena pompa sentrifugal memiliki daerah operasi yang cukup luas, yaitu mulai dari kapasitas rendah hingga kapasitas tinggi dan juga dari tekanan operasi rendah hingga tekanan operasi tinggi. Dengan bentuk yang sederhana dan harga yang cukup murah membuat penggunaan pompa sentrifugal sering digunakan (Bramantya et al, 2007).

Konstruksi pompa sentrifugal secara umum terdiri dari rumah siput atau *volute* (1) dan *impeller* (2) sebagaimana yang tampak pada gambar 2.3. *Impeller* dipasang di sebuah poros (5), yang mana agar tetap stabil poros itu ditopang oleh *bearing* (7) yang terpasang pada suatu rumah *bearing* (6). Untuk menghubungkan gaya, sebuah kopling penggerak dipasang pada ujung dari poros pada rumah *bearing*. Lalu, untuk mencegah kebocoran, dipasang *sealing* (4) pada *casing* sehingga fluida dapat dialirkan menuju sisi tekan secara sempurna.

Sealing sendiri terpasang pada *seal housing* sebagai tempat dudukannya (Girdhar dan Monez. 2005).



*Gambar 2.11* Konstruksi dasar pompa sentrifugal Sumber: Girdhar dan Monez (2005,p.11)

Untuk menggerakkan poros, dapat digunakan sumber penggerak berupa motor listrik, motor bakar dan turbin uap yang akan mengirimkan torsi melalui kopling. Beriringan dengan putaran dari *impeller*, fluida cair akan terhisap dan mengisi ruangan di ruas-ruas *impeller* apabila pompa berfungsi secara baik. Secara umum, pompa mengubah bentuk energi mekanik yang terdapat pada putaran poros yang akan memutar *impeller* yang teridiri dari beberapa sudu, kemudian *impeller* tersebut akan memberikan kecepatan kepada fluida secara mekanik. Fluida cair yang memiliki kecepatan tinggi dimampatkan pada *volute* untuk mengubah energi kinetik menjadi energi tekanan (Girdhar dan Monez, 2005).

### 2.8.2 Karakteristik Pompa Sentrifugal

#### 1. *Head* (H)

Head memiliki pengertian berupa besarnya energi yang dimiliki fluida per satuan berat dari fluida tersebut. Dalam sistem satuan, head (H) memiliki satuan berupa meter atau feet fluida. Berdasarkan persamaan Bernoulli, dalam suatu sistem instalasi aliran, terdapat tiga jenis head, yaitu head kecepatan, head tekanan dan head potensial atau elevasi. Dalam menentukan head total dari suatu pompa, dapat dilakukan dengan melakukan penjumlahan selisih dari nilai masing-masing jenis head tersebut di sisi isap dan di sisi tekan ditambahkan dengan nilai head losses akibat dari instalasi saluran yang digunakan. Untuk lebih jelasnya dalam menentukan nilai head total pompa dapat digunakan persamaan berikut

$$H = (Z_d - Z_s) + (\frac{Pd - Ps}{\gamma}) + (\frac{V_d^2 - V_s^2}{2g}) - H_L$$
 (2-17)

Universitas Brawijaya Universitas Brawijaya

keterangan:

Zd = elevasi sisi tekan (m)

Zs = elevasi sisi isap (m)

Pd = tekanan sisi tekan  $(N/m^2)$ 

Up Psystl = Bra tekanan sisi isap  $(N/m^2)$  awijaya Universitas Brawijaya

 $\gamma$  = berat jenis =  $\rho_{water}$ . g (N/m<sup>3</sup>)

 $v_d = 1$  kecepatan sisi tekan (m/s)

 $v_s$  = kecepatan sisi isap (m/s)

g = percepatan gravitasi (m/s²)

 $H_L$  = Brahead losses (m) las Brawijaya Universitas Brawijaya

### 2. Kapasitas (Q)

Kapasitas atau yang sering diketahui juga dengan istilah debit merupakan besarnya volume dari fluida yang dapat dialirkan per satuan waktu. Untuk mengukur kapasitas dari suatu aliran, dapat digunakan alat ukur berupa flowmeter yang dapat menunjukkan besarnya nilai kapasitas secara langsung. Selain itu kapasitas juga dapat digunakan dengan menggunakan venturimeter, tabung pitot, orifice yang dihubungkan dengan manometer. Dalam menentukan besarnya kapasitas (Q) suatu aliran, digunakan satuan m³/s, ft³/s atau liter/s. Untuk menentukan nilai kapasitas dapat menggunakan persamaan berikut:

$$Q = \frac{v}{t}....(2-18)$$

keterangan:

$$V_{\text{obs}} = \text{volume } (m^3)$$

### awijaya 3. Putaran (n)

Putaran yang dimiliki oleh pompa dapat diperoleh dari putaran motor bakar, motor listrik maupun turbin uap sebagai penggerak utama. Untuk mengukur nilai putaran pada poros, digunakan alat ukur berupa *tachometer* yang akan menghasilkan nilai bacaan berupa jumlah RPM (revolution per minute) dari poros pompa.

### 4. Torsi (T)

Torsi merupakan energi yang menyebabkan sesuatu benda dapat berputar. Pada umumnya, besarnya nilai dari torsi didapatkan dengan cara mengukur gaya menggunakan neraca pegas atau pun dynamometer. Setelah nilai gaya diperoleh, barulah nanti gaya tersebut dikalikan dengan besarnya panjang lengan dari pengukur momen torsi tersebut sebagaimana yang terlihat pada persamaan berikut. Dalam satuan internasional, nilai torsi dinyatakan dalam Newton meter (Nm).

$$T = F \cdot L^{rav}$$
 (2-19) tas Brawijaya

F = gaya akibat putaran motor (N)

lengan (m)

#### wijaya 5. | Daya (W) Brawijaya Universitas Brawijaya Universitas Brawijaya

Pada pompa, daya dikelompokkan menjadi dua jenis yaitu daya poros dan daya air. wijaya Daya poros adalah daya yang dimiliki oleh motor listrik yang disalurkan melalui poros ke impeller pompa. Sedangkan daya air adalah daya yang diperoleh oleh fluida dari kemampuan



pompa untuk mengalirkan fluida cair. Satuan dari daya sendiri adalah Watt. Untuk menghitung daya poros dan daya air dapat menggunakan formula berikut ini:

Daya poros  $(W_1)$ :

$$W_1 = F \cdot \frac{n}{k}$$
 (Watt) (2-20) ersitas Brawijaya Universitas Brawijaya

Keterangan:

konstanta pengereman

Unin rsit = Bra putaran poros (rpm) s Brawijaya Universitas Brawijaya

gaya poros (N) sitas Brawijaya Universitas Brawijaya

- Daya air  $(W_2)$ :

$$W_2 = (Pd - Ps) \cdot Q$$
 (Watt) ...... (2-21) rsitas Brawijaya

keterangan:

 $W_2 =$ daya air (Watt)

 $P_d$ tekanan sisi tekan (N/m<sup>2</sup>)

 $Uni_{\mathbf{P}_{\mathbf{S}}}$ tekanan sisi isap (N/m<sup>2</sup>)

#### 6. Efisiensi (η)

Sebagaimana menurut pengertian efisiensi secara umum, efisiensi adalah besarnya perbandingan dari besarnya kerja yang dihasilkan dibandingkan dengan nilai input tenaga. Sedangkan pengertian dari efisiensi pompa sendiri adalah perbandingan dari daya yang has Brawijaya diberikan pompa terhadap fluida (daya air) dibandingkan dengan besarnya daya yang diperoleh dari motor listrik (daya poros).

$$\eta = \frac{w_2}{w_1} \ x \ 100\%. \tag{2-22}$$

keterangan:

η = efisiensi (%)

 $W_2$  = daya air (Watt)

 $W_1 = \text{daya poros (Watt)}$ 

Efisiensi total dari pompa sentrifugal sebenarnya terdiri dari tiga jenis efisiensi, yaitu has Brawljaya efisiensi hidrolik, efisiensi mekanik dan efisiensi volumetrik. Sehingga, untuk mendapatkan milai efisiensi total juga dapat digunakan persamaan berikut. Versitas Brawijaya

Universitas Brawijaya Universitas Brawijaya Universitas Brawijaya

$$\eta_{Total} = \eta_{mekanik} x \eta_{volumetrik} x \eta_{hidrolik} \dots$$
(2-23)

keterangan:

= efisiensi (%)

 $\eta_{\text{mekanik}}$  = efisiensi mekanik (%)

 $\eta_{\text{volumetrik}} = \text{efisiensi volumetrik} (\%)$ 

 $\eta_{hidrolik}$  = efisiensi hidrolik (%)

### a. Efisiensi Hidrolik

Efisiensi hidrolik sebagaimana yang terlihat pada persamaan 2-24 merupakan nilai dari perbandingan antara *head* pompa aktual ( $\Delta H$ ) dibandingkan dengan nilai *head* teoritis pompa ( $\Delta H_i$ ). Sedangkan *head* aktual pompa sendiri adalah nilai *head* teoritis pompa dikurangi dengan nilai jumlah *hydrolic losses* ( $\Sigma H_L$ ) dari pompa itu sendiri.

$$\eta_{\text{HY}} = \frac{\Delta H}{\Delta H i} \times 100\% = \frac{\Delta H i - \sum H L}{\Delta H i} \times 100\%.$$
(2-24)

keterangan:

 $\eta_{HY}$  = efisiensi hidrolik (%)

 $\Delta H$  = head pompa aktual (m)

 $(\Sigma H_L) = hydrolic \ losses (m)$ 

 $(\Delta H_i)$  = head teoritis pompa (m)

Nilai dari efisiensi hidrolik sangat dipengaruhi oleh *hydrolic losses* yang terjadi pada saat pompa beroperasi. *Hydrolic losses* sendiri terdiri dari seluruh kerugian gesek yang dialami fluida ketika mengalir di dalam pompa, seperti gesekan antara fluida dengan sisi masuk pompa, gesekan antara fluida dengan *impeller*, dan gesekan fluida dengan sisi keluar pompa. Dalam penelitian ini nilai *hydrolic losses* lah yang akan mempengaruhi karakteristik dari pompa karena setiap variasi yang diberikan akan menghasilkan fluida dengan partikel tersuspensi dengan properties yang berbeda. Sehingga dengan adanya *properties* seperti massa jenis dan viskositas yang berubah akan mempengaruhi besarnya kerugian gesek atau *friction losses* yang terjadi.

#### b. Efisiensi Mekanis

Efisiensi mekanis merupakan perbandingan antara daya poros (W<sub>s</sub>) dikurangi dengan *mechanical losses* (W<sub>ml</sub>) dibandingkan dengan daya poros sebagaimana yang terlihat pada persamaan 2-25. Semakin tinggi nilai efisiensi mekanis maka semakin efisien penyaluran daya yang terjadi dari komponen pemutar utama yaitu poros kepada fluida yang dipompakan

Universitas Brawijaya Universitas Brawijaya Universitas Brawijaya

$$\eta_{\rm m} = \frac{W_{\rm s} - W_{ml}}{W_{\rm s}} \times 100\%...(2-25)$$

keterangan:

 $\eta_{\rm m} = {\rm efisiensi\ mekanis\ (\%)}$ 

 $W_s = \text{daya poros (watt)}$ 

 $W_{ml}$  = mechanical losses (watt) = Brawiiava Universitas Brawiiava

Nilai dari efisiensi mekanis tergantung dengan besarnya *mechanical losses* yang terjadi pada pompa. *Mechanical losses* terdiri dari kerugian gesek yang terjadi antara komponen mekanis yang berada pada dalam pompa seperti pada gesekan *bearing* dan poros pada pompa.

#### c. Efisiensi Volumetrik

Efisiensi volumetrik pada pompa sentrifugal merupakan perbandingan antara nilai kapasitas pompa (Q) dengan jumlah antara kapasitas pompa dan kapasitas fluida yang mengalami aliran balik (Q<sub>L</sub>). Aliran balik itu adalah aliran yang harusnya melewati *impeller* namun terpental kembali ke sisi isap. Untuk lebih jelasnya, hal ini dapat dilihat pada persamaan 2-26.

$$\eta_{\rm v} = \frac{Q}{Q + Q_L} \ x \ 100\%...(2-26)$$

keterangan:

 $\eta_v = \text{efisiensi volumetrik (%)}$ 

 $Q = \text{kapasitas pompa } (\text{m}^3/\text{s})$ 

 $Q_L = \text{kapasitas aliran balik } (\text{m}^3/\text{s})$ 

#### 2.9 Hipotesis

Dalam penelitian ini berdasarkan pertimbangan dasar teori, dapat diprediksi bahwa semakin banyaknya persentase mikropartikel CuO pada fluida dengan partikel tersuspensi, maka akan semakin kecil nilai head pompa, semakin kecil nilai kapasitas pompa, semakin besar nilai torsi, semakin besar nilai daya poros pompa dan menurunkan nilai efisiensi pompa. Selain itu penggunaan ethylene glycol sebagai fluida dasar juga akan menyebabkan hal yang sama jika dibandingkan dengan penggunaan air biasa sebagai fluida dasarnya. Hal tersebut dikarenakan densitas fluida dengan partikel tersuspensi yang lebih tinggi dibandingkan fluida dasar dan juga densitas dari ethylene glycol yang lebih besar daripada densitas air, sehingga pada akhirnya akan meningkatkan viskositas fluida kerja yang akan menurunkan nilai head pompa, menurunkan nilai kapasitas pompa, menaikkan nilai torsi, menaikkan nilai daya poros dan menurunkan efisiensi pompa.

#### BAB III METODE PENELITIAN

Dalam penelitian ini, digunakan metode penelitian berupa metode eksperimental nyata. Pengamatan akan dilakukan secara langsung pada rangkaian alat penelitian untuk mendapatkan data yang nantinya akan dapat dianalisa dan dibandingkan. Pada penelitian ini, akan diamati pengaruh penambahan mikropartikel CuO pada fluida dengan partikel tersuspensi campuran *ethylene glycol*-air sebagai fluida kerja terhadap karakteristik pompa sentrifugal dengan variasi persentase jumlah mikropartikel CuO.

#### 3.1 Waktu dan Tempat Penelitian

Penelitian ini dilaksanakan pada bulan Maret 2017 sampai bulan Mei 2017 dan dilaksanakan di Laboratorium Mesin-Mesin Fluida, Jurusan Teknik Mesin, Fakultas Teknik Universitas Brawijaya.

#### 3.2 Variabel Penelitian

Dalam penelitian ini, variabel yang digunakan terdiri dari beberapa variabel yaitu:

### 1. Variabel Bebas

Variabel bebas merupakan variabel yang besar nilainya ditentukan oleh peneliti dan tidak bergantung dengan variabel lain. Di penelitian ini, yang menjadi variabel bebas adalah persentase massa mikropartikel CuO yang digunakan dengan variasi sebanyak 0,5%, 1%, 1,5% dan 2%. Selain itu variabel bebas lainnya adalah variasi kapasitas yang digunakan dengan variasi kapasitas 0,00006 m³/s, 0,00005 m³/s, 0,00004 m³/s, 0,00003 m³/s, 0,00002 m³/s, dan 0,00001 m³/s,.

### 2. Variabel Terikat

Variabel terikat merupakan variabel yang besar nilainya tergantung dari nilai variabel bebas. Untuk mengetahui nilai dari variabel terikat, penelitian harus dilakukan hingga selesai. Dalam penelitian ini yang menjadi variabel terikat adalah kapasitas, head, torsi, daya poros, daya air dan efisiensi pompa.

# 3. Variabel Terkendali

Variabel terkendali merupakan variabel dengan nilai yang telah ditentukan sebelum penelitian dilaksanakan dan bersifat tetap. Pada penelitian ini yang menjadi variabel terkendalinya adalah putaran motor pompa sebesar 2900 rpm.



#### wija **3.3** Alat-alat Penelitian

Alat-alat yang digunakan pada penelitian ini adalah: tas Brawijaya Universitas Brawijaya

#### Pompa Sentrifugal wijala

Pompa sentrifugal seperti yang ditunjukkan pada gambar 3.1 berguna sebagai alat pemindah fluida dari bak penampung untuk disirkulasikan dalam rangkaian alat penelitian. Pompa sentrifugal ini juga akan menjadi objek yang akan dianalisa khususnya pada perubahan karakteristiknya yang terjadi pada saat beroperasi.





Gambar 3.1 Pompa sentrifugal

## Spesifikasi:

Merek Interdab

Model No XHM/5B

Head tekan maksimal 22 m

Head isap maksimal 8 m

Debit maksimal 600 L/min

Daya 0.75 KW

University - Putaran motor 2900 RPM

#### awijaya Pipa PVC Diameter 1 in

awijaya Pipa PVC berdiameter 1 in berfungsi sebagai saluran tempat mengalirnya fluida kerja dari bak penampung dan juga sebagai tempat memasang alat ukur tekanan. niversitas Brawijaya Universitas Brawijaya

#### wija3. Vacuum Gauge awijaya Universitas Brawijaya Universitas Brawijaya

Vacuum gauge pada gambar 3.2 merupakan alat pengukur tekanan yang akan digunakan untuk mengukur tekanan pada sisi isap pompa. Vacuum gauge yang digunakan merupakan produk dari perusahaan Wiebrock, dengan spesifikasi diameter alat ukur 2,5 in tas Brawllaya dengan nilai skala ukur dari 0 hingga -76 cmHg dan dari 0 hingga -30 inHg. Nilai skala



univers<sub>29</sub>is Brawijaya

pengukuran terkecil dari alat ukur ini adalah 0,5 untuk satuan inHg dan 1 untuk satuan

awijaya cmHg ersitas Brawijaya



Gambar 3.2 Vacuum gauge

# 4. Pressure Gauge

Pressure gauge pada gambar 3.3 digunakan sebagai alat pengukur tekanan pada sisi tekan atau keluaran pompa. Pressure gauge yang dipakai merupakan produk dari perusahaan Asahi dengan spesifikasi diameter alat ukur sebesar 5 in dan dengan nilai skala pengukuran s Brawijaya dari 0 hingga 40 mAq. Alat ukur ini memiliki skala pengukuran terkecil sebesar 1 mAq.



nwijaya Gambar 3.3 Pressure gauge niversitas Brawijaya Universitas Brawijaya

#### a Univers

Flowmeter

30

wija5a

Flowmeter sebagaimana yang terlihat pada gambar 3.4 digunakan sebagai alat pengukur debit fluida yang dialirkan oleh pompa. Flowmeter dengan merk Ningbo China dengan satuan pembacaan m³ digunakan pada rangkaian penelitian. Flowmeter ini berjenis impeller flowmeter. Alat ini bekerja dengan cara menerima aliran fluida yang masuk dan aliran tersebut akan menubruk sehingga memutar impeller yang terdapat pada flowmeter. Lalu putaran impeller tersebut akan memutar jarum skala yang akan memberikan hasil pembacaan volume aliran. Dalam flowmeter ini terdapat lima skala pengukuran yang berbeda yaitu mulai dari 0,0001 m³, 0,001 m³, 0,01 m³, 0,1 m³ dan 1 m³. Alat ini juga mampu menerima tekanan maksimum sebesar 1,6 Mpa dan temperatur maksimum sebesar 40 °C serta permanent flow-rate sebesar 1,5 m³/h.



Gambar 3.4 Flowmeter

#### 6. Bak penampung

Bak penampung merupakan tempat yang berguna sebagai wadah dari fluida kerja yang disirkulasikan. Bak penampung yang dapat dilihat pada gambar 3.5 memiliki volume maksimum sbesar 40 liter.



Gambar 3.5 Bak penampung

#### 7. Gate Valve

Pada penelitian ini, katup *gate valve* sebagaimana yang terlihat pada gambar 3.6 digunakan sebagai pengatur debit aliran fluida yang disirkulasikan oleh pompa. Karena kemampuan dari *gate valve* yang dapat digunakan untuk mengatur kapasitas aliran dalam nilai yang berubah-ubah.



Gambar 3.6 Gate valve

#### 8. Neraca Gantung Digital

Neraca gantung digital merupakan alat ukur yang berguna untuk mengukur nilai gaya pembebanan pada poros pompa. Alat ukur ini dihubungkan menuju pulley yang seporos dengan motor listrik penggerak pompa menggunakan tali. Neraca pegas yang digunakan memiliki nilai ketelitian 0,001 kg. Untuk lebih jelasnya dapat dilihat pada gambar 3.7.



32



Gambar 3.7 Neraca pegas

#### awija 9. Timbangan Digital

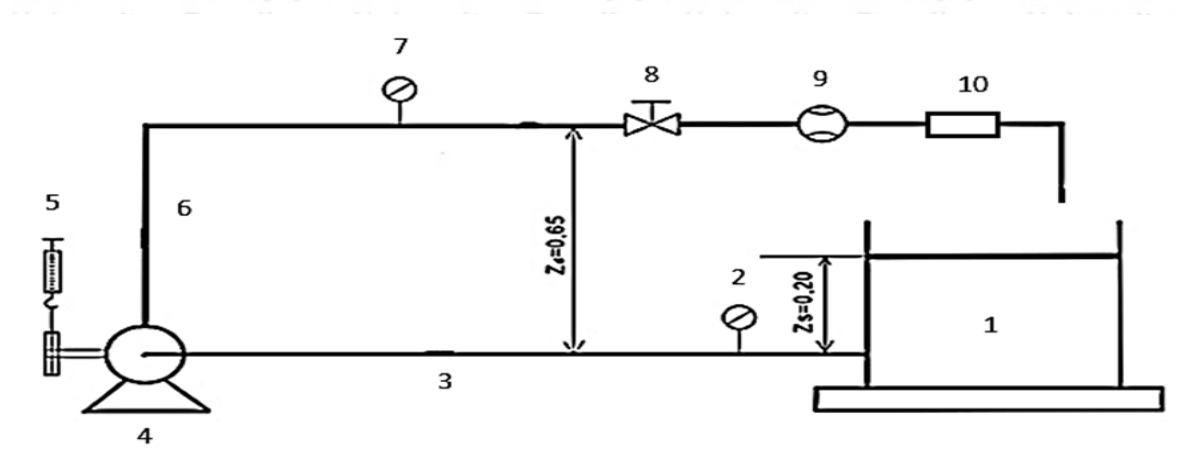
Timbangan digital digunakan sebagai alat pengukur massa mikropartikel CuO yang awija akan ditambahkan ke dalam fluida. Pada penelitian ini, timbangan yang digunakan berjenis ikas Brawijaya timbangan digital sebagaimana yang terlihat pada gambar 3.8. Alat ukur ini memiliki skala pengukuran terkecil sebesar 0,001 kg dengan interval pengukuran dari 0 kg hingga 10 kg.



Gambar 3.8 Timbangan digital

#### nyijava 3.4 Skema instalasi penelitian <sub>ersitas</sub> Brawijava Universitas Brawijava

Alat penelitian yang digunakan disusun seperti yang tertera pada gambar 3.9 Universitas Brawijava wijaya di bawah ini: Brawijaya



Gambar 3.9 Skema instalasi penelitian Keterangan:

1 = Bak penampung

2 = Pressure gauge sisi isap

3 = Pipa sisi isap

4 = Pompa sentrifugal

5 = Neraca pegas

6 = Pipa sisi tekan

7 = Pressure gauge sisi tekan

 $8 = Gate\ valve$ 

9 = Flowmeter

10 = Pipa transparan

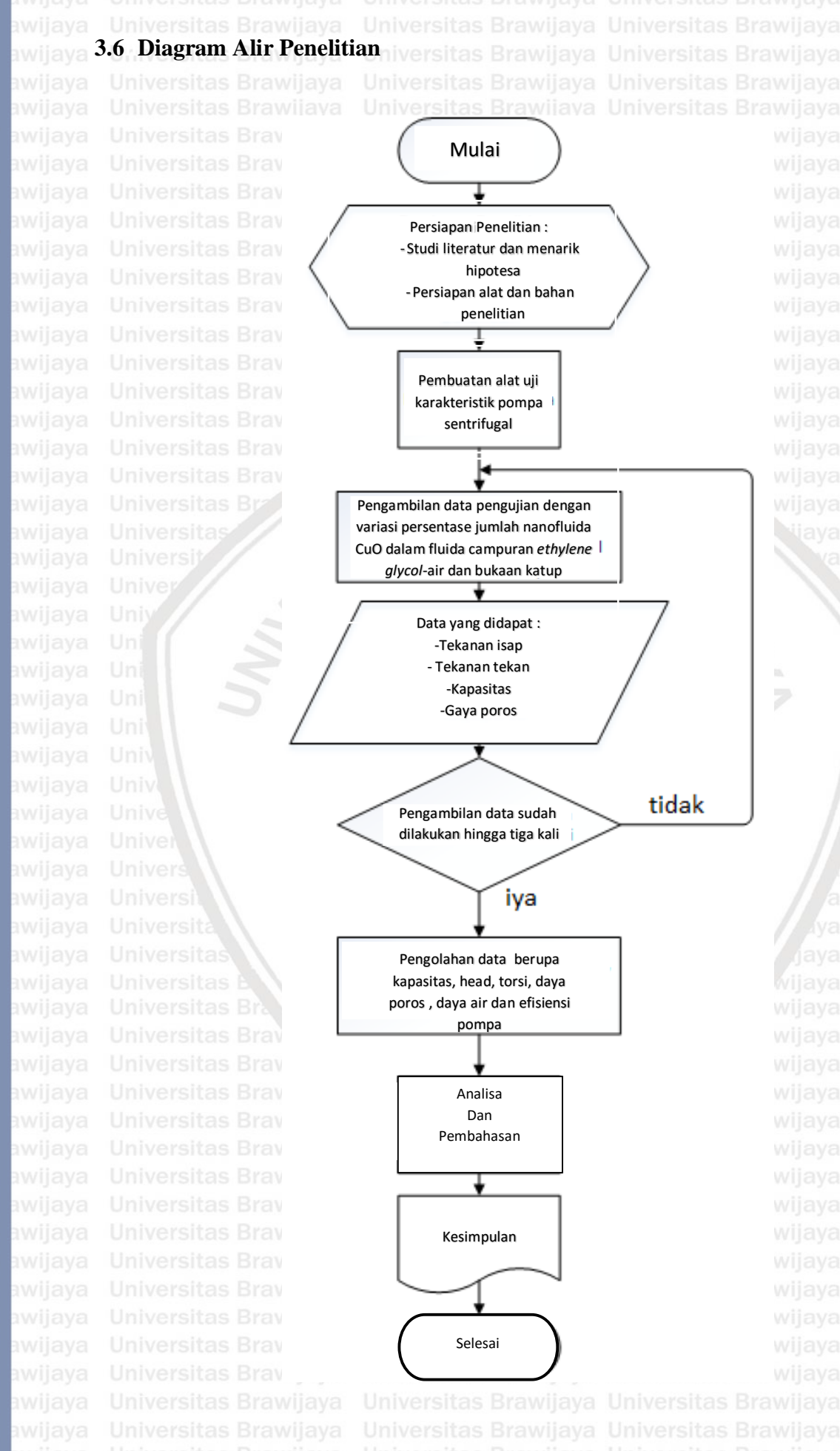
#### 3.5 Prosedur Pengambilan Data Penelitian

Dari gambar 3.9 dapat dilihat skema instalasi dari penelitian, pada gambar dapat diketahui bahwa fluida kerja yang digunakan tersimpan pada bak penampung (1). Fluida kerja tersebut akan dialirkan melewati sistem oleh pompa (4) dari bak penampung (1) yang akan dihisap pada sisi isap (3) lalu dialirkan melewati sisi tekan (6) hingga melewati seluruh alat ukur, pipa transparan (10) dan kembali lagi pada bak penampung (1) dengan debit aliran yang direncanakan yang akan diatur menggunakan gate valve (8) dan nilainya akan terbaca pada *flowmeter* (9). Pengambilan data dilakukan mengikuti prosedur yaitu pada awalnya, setiap alat ukur yang digunakan yaitu pressure gauge, vacuum gauge, flowmeter dan neraca pegas sudah terkalibrasi. Lalu masukkan fluida dengan partikel tersuspensi dengan jumlah yang telah ditentukan kedalam bak penampung, untuk pengambilan data pertama air sebanyak 8 liter (7,99856 kg) dan ethylene glycol sebanyak 12 liter (13,35168 kg) yang telah dicampurkan dengan CuO sebanyak 0,5% (0,1067512 kg). Setelah itu buka katup dengan wijaya bukaan yang telah direncanakan. Selanjutnya, nyalakan pompa dan arahkan sensor dari s



tachometer digital pada poros untuk mendapatkan nilai putaran poros. Setelah itu, catat semua nilai yang terbaca pada alat ukur yaitu nilai tekanan pada sisi hisap dapat dilihat pada has Brawijaya nilai yang ditunjukkan pada pressure gauge sisi isap (2), tekanan pada sisi tekan dapat mas Brawijaya dilihat pada pressure gauge sisi tekan (7), debit aliran yang terlihat pada flowmeter (9), dan gaya poros yang dapat dilihat pada nilai yang ditunjukkan pada neraca pegas (5). Setelah semua data diperoleh, matikan pompa lalu ubah variasi bukaan katup menuju variasi berikutnya. Lalu, ulangi langkah yang sama hingga pengubahan bukaan katup telah dilaksanakan seluruhnya. Setelah itu ubah variasi persentase mikropartikel dengan las Brawijaya menambahkan jumlah mikropartikel ke dalam fluida kerja sesuai dengan jumlah yang telah ditentukan. Setelah itu lakukan pengambilan data dengan variasi bukaan katup seperti yang sepert telah dilakukan sebelumnya. Lakukan hingga seluruh variasi persentase mikropartikel CuO

didapatkan datanya.



Universitas Brawijaya

Universitas Brawijay Universitas Brawijay Universitas Brawijay Universitas Brawijay Universitas Brawijay

Universitas Brawijay
 Universitas Brawijay
 Universitas Brawijay
 Universitas Brawijay

Universitas Brawijaya iversitas Brawijaya iversitas Brawijaya

niversitas Brawijaya niversitas Brawijaya Jniversitas Brawijaya

Universitas Brawijaya Universitas Brawijaya Universitas Brawijaya

Universitas Brawijaya Universitas Brawijaya Universitas Brawijaya

aya Universitas Brawijay aya Universitas Brawijay aya Universitas Brawijay

> a Universitas Brawijaya a Universitas Brawijaya a Universitas Brawijaya a Universitas Brawijaya

Universitas Brawijaya Universitas Brawijaya Universitas Brawijaya

Universitas Brawijaya Universitas Brawijaya Universitas Brawijaya

Universitas Brawijaya Universitas Brawijaya Universitas Brawijaya 36

Universitas Brawijaya

Universitas Brawijaya
Universitas Brawijaya
Universitas Brawijaya
Universitas Brawijaya
Universitas Brawijaya
Universitas Brawijaya
Universitas Brawijaya
Universitas Brawijaya
Universitas Brawijaya
Universitas Brawijaya
Universitas Brawijaya
Universitas Brawijaya
Universitas Brawijaya
Universitas Brawijaya
Universitas Brawijaya
Universitas Brawijaya
Universitas Brawijaya
Universitas Brawijaya
Universitas Brawijaya
Universitas Brawijaya

awijaya

awijaya

awijaya

## Universita BAB IV a Universitas Brawijaya HASIL DAN PEMBAHASAN tas Brawijaya

#### 4.1 Hasil Penelitian

sitas Brawijaya Dalam penelitian ini diambil data berupa data tekanan sisi isap, tekanan sisi tekan, gaya poros dan kapasitas. Data tersebut dicatat dan ditampilkan dalam tabel 4.1 sebagaimana s Brawijaya yang dapat dilihat dibawah ini

Tabel 4.1 Data Penelitian

1 0, 2 0, 3 0, 4 0,	f (kg) 0,246 0,247 0,25 0,251 0,255	P <sub>d</sub> (maq) 12,5 12,1 11,7 11,2 10,6	P <sub>s</sub> (cmHg) -1,625 -2,375 -2,875 -4,125 -5,375	f (kg)) 0,35  0,365  0,37  0,37	P <sub>d</sub> (maq) 11,9 11,6 11,1 10,5	P <sub>s</sub> (cmHg) -0,5 -0,875 -1,625	f (kg) 0,35 0,365 0,37	P <sub>d</sub> (maq) 11,8 11,3 11 10,2	Ps (cmHg) -1,125 -1,625 -2	
1 0, 2 0, 3 0, 4 0,	),246 ),247 ),25 ),251	12,1 11,7 11,2	-2,375 -2,875 -4,125	0,35 0,365 0,37 0,37	11,6	-0,5 -0,875 -1,625	0,35 0,365 0,37	11,3	-1,125 -1,625 -2	
3 0, 4 0,	0,25	11,7	-2,875 -4,125	0,37	11,1	-1,625	0,37	11	-2 versit	
4 0,	),251	11,2	-4,125	0,37	11/	3	1		niversit	
Unit	//			NEI C	10,5	-3	0.375	10.2	2.125	
5 0,	),255	10,6	-5,375	0.27			3,0.0	10,2	-3,125	
				0,37	10,1	-3,375	0,375	9,9	-3,875	
<b>6</b> 0,	),26	10,1	-6,625	0,385	9,5	-4,625	0,39	9,2	-5,5	
KAPASITAS	Air-	Ethlene			Ethlene	•	Air-	Ethlene		
$( x 10^{-5} m^3/s)$	f	CuO 19		f	CuO 1,5		f	CuO 2º		
	(kg)	P <sub>d</sub> (maq)	P <sub>s</sub> (cmHg)	(kg)	P <sub>d</sub> (maq)	P <sub>s</sub> (cmHg)	(kg)	P <sub>d</sub> (maq)	P <sub>s</sub> (cmHg)	
	),365	10,2	-0,375	0,365	10,1	-0,25	0,37	9,9	-0,125	
2 0,	),365	9,8	-0,625	0,365	9,8	-0,625	0,375	9,3	-0,25	
3 0,	),37	9,2	-1,25	0,385	9,2	-1	0,39	8,9	-U X / \	
4 0,	),375	8,8	-2,5	0,385	8,8	-2,125	0,39	8,2	-1,875	
5 0,	),39	8,2	-3,25	0,4	8,1	-3,125	0,4	7,8	-2,625	
<b>6</b> 0,	),395	7,9	-4,25	0,4	7,8	-4,25	0,415	7,2	-3,875	

38 niversitas Brawijaya Universitas Brawijava

Sebagaimana yang dapat dilihat pada tabel 4.1, dapat dilihat bahwa nilai Banda dilihat bahwa nilai pembacaan alat ukur masih belum memiliki satuan yang berstandar SI. Oleh karena itu nilai nwijava tersebut dikonversi menjadi satuan internasional dan hasil konversi tersebut ditampilkanas Brawijava pada tabel 4.2. Proses penghitungan konversi satuan yang digunakan dapat dilihat dalam contoh perhitungan berikut dengan sampel perhitungan fluida air pada kapasitas 4 x 10<sup>-5</sup> m<sup>3</sup>/s ersitas Brawijaya Universitas Brawijaya Universitas Brawijaya

$$P_d = 11.2 \times 9.806,38 \text{ N/m}^2$$
  
= 10.2967 \text{ N/m}^2

 $P_s = -4,125$  cmHg (tanda negatif menunjukkan tekanan berada dibawah 1 atm)  $1 \text{ cmHg} = 1.333,224 \text{ N/m}^2$ maka

$$P_s = -4,125 \times 1.333,224 \text{ N/m}^2$$
  
= -5.499,55 N/m² (tanda negatif menunjukkan tekanan berada dibawah 1 atm)

Tabel 4.2 Data Penelitian Hasil Konversi

KAPASITAS	A	ir	Air-Ethl	ene Glycol	Air-Ethle	ne Glycol	
$(x 10^{-5} \text{ m}^3/\text{s})$					CuO	0,5%	
	$P_d (N/m^2)$	Ps	Pd	Ps	$P_d$	Ps	
		$(N/m^2)$	$(N/m^2)$	$(N/m^2)$	$(N/m^2)$	$(N/m^2)$	
1	122579,75	-2166,489	116695,9	-666,612	115715,3	-1499,88	
2	118657,198	-3166,407	7 113754	-1166,57	110812,1	-2166,49	
3	114734,646	-3833,019	108850,8	-2166,49	107870,2	-2666,45	
4	109831,456	-5499,549	102967	-3999,67	100025,1	-4166,33	
5	103947,628	-7166,079	99044,44	-4499,63	97083,16	-5166,24	
6	99044,438	-8832,609	93160,61	-6166,16	90218,7	-7332,73	
	-			-	, , , , , , , , , , , , , , , , , , ,	· · · · · · · · · · · · · · · · · · ·	
KAPASITAS	Air-Ethlen	e Glycol	Air-Ethler	ne Glycol	Air-Ethlene		
KAPASITAS ( x 10 <sup>-5</sup> m <sup>3</sup> )	Air- <i>Ethlen</i> CuO	•	Air- <i>Ethler</i> CuO		Air-Ethlene CuO 2%		
		•					
	CuO	1%	CuO	1,5%	CuO 2%	Glycol	
	CuO P <sub>d</sub>	1% P <sub>s</sub>	CuO P <sub>d</sub>	1,5% P <sub>s</sub>	CuO 2%	Glycol P <sub>s</sub>	
$(x 10^{-5} m^3)$	$\begin{array}{c} \text{CuO} \\ P_d \\ (\text{N/m}^2) \end{array}$	$\frac{1\%}{P_s}$ $\frac{(N/m^2)}{}$	CuO P <sub>d</sub> (N/m <sup>2</sup> )	1,5% P <sub>s</sub> (N/m <sup>2</sup> )	CuO 2%  P <sub>d</sub> (N/m <sup>2</sup> )	Glycol  P <sub>s</sub> (N/m <sup>2</sup> )	
( x 10 <sup>-5</sup> m <sup>3</sup> )	CuO P <sub>d</sub> (N/m²) 100025,1	P <sub>s</sub> (N/m <sup>2</sup> ) -499,959	CuO P <sub>d</sub> (N/m²) 99044,44	1,5%  P <sub>s</sub> (N/m <sup>2</sup> ) -333,306	CuO 2%  P <sub>d</sub> (N/m²)  97083,16	P <sub>s</sub> (N/m <sup>2</sup> ) -166,653	
( x 10 <sup>-5</sup> m <sup>3</sup> )  1 2	CuO  P <sub>d</sub> (N/m²)  100025,1  96102,52	P <sub>s</sub> (N/m <sup>2</sup> ) -499,959 -833,265	CuO P <sub>d</sub> (N/m²) 99044,44 96102,52	1,5%  P <sub>s</sub> (N/m <sup>2</sup> )  -333,306  -833,265	CuO 2%  P <sub>d</sub> (N/m²)  97083,16  91199,33	P <sub>s</sub> (N/m <sup>2</sup> ) -166,653 -333,306	
( x 10 <sup>-5</sup> m <sup>3</sup> )  1 2 3	CuO P <sub>d</sub> (N/m²) 100025,1 96102,52 90218,7	P <sub>s</sub> (N/m <sup>2</sup> ) -499,959 -833,265 -1666,53	CuO P <sub>d</sub> (N/m²) 99044,44 96102,52 90218,7	1,5%  P <sub>s</sub> (N/m²) -333,306 -833,265 -1333,22	CuO 2%  P <sub>d</sub> (N/m²)  97083,16  91199,33  87276,78	P <sub>s</sub> (N/m <sup>2</sup> ) -166,653 -333,306 -1166,57	

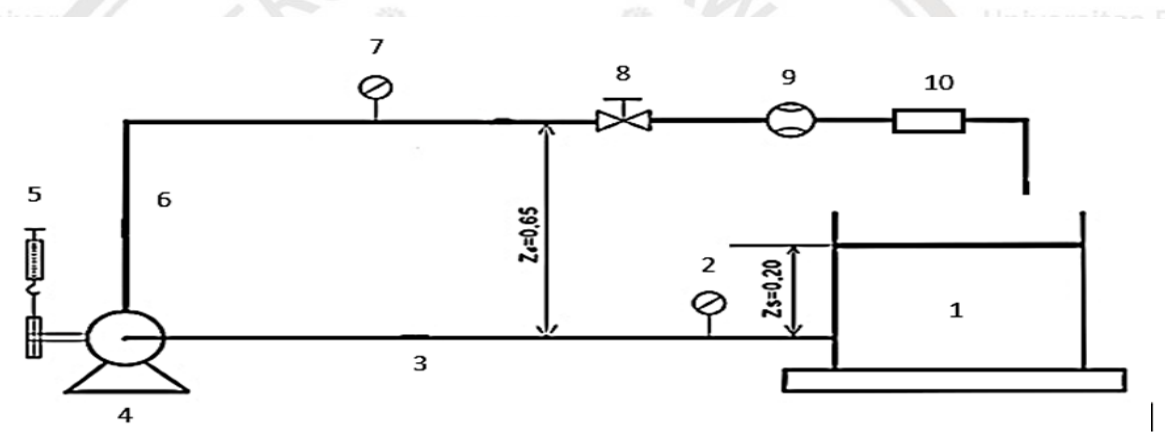
awijaya .

#### wijaya 4.2 Contoh Perhitungan

Setelah diperoleh data hasil konversi, maka tahapan selanjutnya adalah melakukan perhitungan. Perhitungan yang digunakan bertujuan untuk memperoleh nilai dari karakteristik pompa sentrifugal yaitu berupa nilai head, torsi, daya poros, daya air dan efisiensi. Setelah dihitung, hasil perhitungan juga ditampilkan dalam bentuk tabel seperti yang dapat dilihat pada tabel 4.3. Agar lebih mudah memahami perhitungan yang digunakan, berikut ditampilkan contoh perhitungan yang digunakan dengan sampel perhitungan fluida air pada kapasitas 4x10<sup>-5</sup> m³/s

#### 1. Contoh Perhitungan Head

Contoh Perhitungan dilakukan pada fluida kerja air pada kapasitas  $0,00004~\text{m}^3/\text{s}$ . Sebelum melakukan perhitungan diperlukan nilai  $Z_d$  dan nilai  $Z_s$  yang diperoleh dari perbedaan ketinggian fluida pada sisi tekan dan sisi isap sebagaimana yang dapat dilihat pada gambar 4.1.



Gambar 4.1 Skema instalasi penelitian

Selain itu nilai v<sub>d</sub> dan v<sub>s</sub> juga diperlukan, sehingga untuk mengetahuinya perlu dilakukan perhitungan aliran yang terjadi pada saluran sisi isap dan sisi tekan.

Berikut dapat dilihat gambar 4.2 yang menunjukkan saluran pada sisi isap dan sisi tekan



Gambar 4.2 Pipa saluran

Dalam melakukan perhitungan kecepatan aliran dilakukan perhitungan Brawijaya menggunakan persamaan berikut: s Brawijaya Universitas Brawijaya

Univ
$$v_d=Q/A_d=Q/\pi r^2$$
iversitas Brawijaya Universitas Brawijaya

Keterangan: Universitas Brawijaya Universitas Brawijaya

v<sub>d</sub> = kecepatan aliran sisi tekan (m/s) wijaya Universitas Brawijaya

Q = kapasitas (m³/s) liversitas Brawijaya Universitas Brawijaya

 $A_d$  = luas penampang pipa ( $m^2$ )

Universit= jari-jari dalam pipa (m) tas Brawijaya. Universitas Brawijaya

Setelah persamaan diketahui, dilakukan perhitungan sebagai berikut:

$$v_d = Q / A_d = Q / \pi r^2$$

$$= 4 \text{ x} \quad 10^{-5} \quad (\text{m}^3/\text{s}) / \quad [(3,14.0,0127^2 \text{ (m}^2)]$$

= 0.0197 m/s

Karena luas penampang sisi isap dan sisi tekan sama, maka nilai  $v_s = v_d$ 

Untuk melakukan perhitungan juga diperlukan nilai berat jenis air yang diperoleh s Brawijaya dengan perhitungan sebagai berikut:

$$\gamma = \rho \cdot g$$

Keterangan:

 $\gamma = \text{berat jenis ( N/m}^3)$ 

 $\rho = \text{massa jenis ( kg/m}^3)$ 

 $g = percepatan gravitasi (m/s^2)$ 

Setelah persamaan diketahui, dilakukan perhitungan sebagai berikut:

$$\gamma = \rho \cdot g$$

$$= 998 \text{ kg/m}^3 \cdot 9.81 \text{ m/s}^2$$

$$= 9790,38 \text{ N/m}^3$$

Univ Setelah didapatkan semua nilai yang disebutkan diatas, barulah perhitungan head s Brawijaya dapat dilakukan dengan perhitungan sebagai berikut:

$$H = (Z_d-Z_s) + (\frac{Pd-Ps}{\gamma}) + (\frac{V_d^2-V_s^2}{2g})$$

Univ Keterangan : ijaya Universitas Brawijaya Universitas Brawijaya

 $Z_d$  = elevasi sisi tekan (m)

Univ $Z_s$  = elevasi sisi isap (m) ersitas Brawijaya Universitas Brawijaya

 $P_d = tekanan \ sisi \ tekan \ (N/m^2)$ 

Univ  $P_s$  = tekanan sisi isap  $(N/m^2)$  as Brawijaya Universitas Brawijaya

 $\gamma$  = berat jenis =  $\rho$ . g (N/m<sup>3</sup>)

Univ  $v_d$  = kecepatan sisi tekan (m/s) Brawijaya Universitas Brawijaya

 $v_s = kecepatan sisi isap (m/s)$  Brawijaya Universitas Brawijaya

g = percepatan gravitasi (m/s<sup>2</sup>) Brawijaya Universitas Brawijaya

Setelah persamaan diketahui, dilakukan perhitungan sebagai berikut:

$$H = (Z_d-Z_s) + (\frac{Pd-Ps}{\gamma}) + (\frac{V_d^2-V_s^2}{2g})$$

$$H = (0,65-0,2) + (\frac{109831.456 - (-5499.549)}{9790,38}) + (\frac{0,0197^2 - 0,0197^2}{2.9,81})$$

Univ H 
$$I = (0.45) + (11.78) + 0$$
 ersitas Brawijaya Universitas Brawijaya

$$H = 12,23 \text{ m}$$

## 2. Contoh Perhitungan Torsi

Contoh Perhitungan dilakukan pada fluida kerja air pada kapasitas 0,00004 m³/s. Sebelum melakukan perhitungan torsi diperlukan nilai gaya akibat putaran sarawi aya motor (F) yang diperoleh dengan perhitungan

$$F \circ = f \times g$$

Keterangan:

f = gaya yang terbaca pada neraca pegas (kg)

g = percepatan gravitasi (m/s<sup>2</sup>)

Setelah persamaan diketahui, dilakukan perhitungan sebagai berikut:

Univ 
$$F = f x g$$

$$= 0.2507 \text{ kg x } 9.81 \text{ m/s}^2$$

$$= 2,4598 \text{ N}$$

Lalu dilakukan perhitungan torsi

UniveTel= 
$$F.L$$

keterangan:

F = gaya akibat putaran motor (N)

L = lengan (m)

Setelah persamaan diketahui, dilakukan perhitungan sebagai berikut:

$$T = 0.0922425$$
 Nm

# Contoh Perhitungan Daya Poros

Contoh Perhitungan dilakukan pada fluida kerja air pada kapasitas 0,00004 s Brawijaya



Keterangan:

K = konstanta pengereman Iniversitas Brawijaya Universitas Brawijaya

Universitas =  $60/2\pi L_{\odot}$ 

n = kecepatan putaran motor (rpm)

= gaya akibat putaran motor (N)

 $W_1 = = daya poros (Watt)$  (Watt) de Brawijaya Universitas Brawijaya

Setelah persamaan diketahui, dilakukan perhitungan sebagai berikut:

niversitas Brawijaya

Unive
$$W_1 = F \cdot \frac{n}{k}$$
 (Watt) Universitas Povijava Universitas Brawijava

$$W_1 = 2,4598 \cdot \frac{2900}{254,77}$$

 $W_1 = 27,9986735$  Watt

4. Contoh Perhitungan Daya Air

Contoh Perhitungan dilakukan pada fluida kerja air pada kapasitas 0,00004 m³/s

$$W_2 = (P_d - P_s) \cdot Q \text{ (Watt)}$$

keterangan:

 $W_2$ = daya air (Watt)

 $P_d$ = tekanan sisi tekan (N/m<sup>2</sup>)

Univ  $P_s$ = tekanan sisi isap  $(N/m^2)$ 

Setelah persamaan diketahui, dilakukan perhitungan sebagai berikut:

$$W_2 = (P_d - P_s) \cdot Q \text{ (Watt)}$$

$$W_2 = (109831.456 - (-5499.549)) \cdot 0,00004 \text{ (Watt)}$$

 $W_2 = 4,61324$  Watt

5. Contoh Perhitungan Efisensi

$$\eta = \frac{w_2}{w_1} \times 100\%$$

keterangan:

Univ 
$$\eta$$
s tas = efisiensi (%) wars tas Brawijaya Universitas Brawijaya

$$W_2 = \text{daya air (Watt)}$$

Unive
$$W_1$$
 as  $\equiv$  daya poros (Watt) sitas Brawijaya Universitas Brawijaya

Setelah persamaan diketahui, dilakukan perhitungan sebagai berikut:

$$\eta = \frac{4,61324}{27,9986735} x 100\%$$

$$\eta = 16,47664 \%$$

awijaya

awijaya

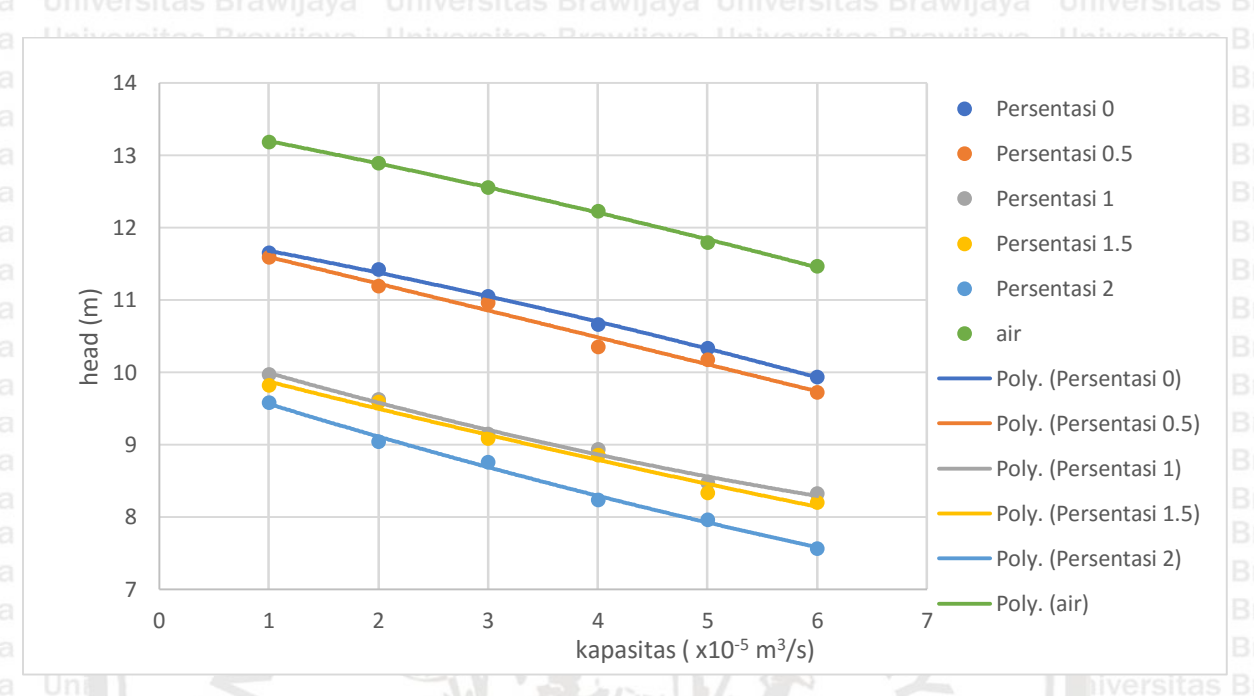
Fluida Kerja	Q (x t10 <sup>-5</sup>	Head (m)	Torsi (Nm)	Daya Poros	Daya Air	Efisiensi (%
	$m^3/s$ )			(Watt)	(Watt)	
Air	1	13,19171575	0,090405	27,440931	1,247462	4,545991
	s Brawijaya	12,89319475	0,0907725	27,5524795	2,436472	8,843023
	3	12,56062952	0,091875	27,887125	3,55703	12,7551
	s Bra <b>4</b> vijaya	12,23003356	0,0922425	27,9986735	4,61324	16,47664
	5	11,79927419	0,0937125	28,4448675	5,555685	19,53142
	s Bra <sub>6</sub> vijaya	11,46867823	0,09555	29,00261	6,472623	22,31738
Air-ethylene	1	11,65695698	0,128625	39,041975	1,17362534	3,00606037
glycol	S Dia <sub>2</sub> vijaya	11,42377452	0,1341375	40,7152025	2,29841158	5,64509431
	3	11,05105079	0,135975	41,272945	3,33051921	8,06949736
	4	10,6642544	0,135975	41,272945	4,27866648	10,3667583
	5	10,33743074	0,135975	41,272945	5,17720345	12,5438188
	s B / 6	9,934720649	0,1414875	42,9461725	5,95960626	13,8769206
Air-ethylene	1	11,59661152	0,128625	39,041975	1,17215161	3,00228564
glycol CuO	2	11,19373285	0,1341375	40,7152025	2,25957166	5,54970016
0,5%	3	10,96151439	0,135975	41,8306875	3,31609884	8,03455832
	4	10,35811309	0,1378125	41,8306875	4,16765604	9,96315453
	5	10,17343839	0,1378125	41,272945	5,11247025	12,2218174
	6	9,726682831	0,143325	43,503915	5,85308568	13,4541585
Air-ethylene	1	9,970167664	0,1341375	40,7152025	1,00525035	2,46898035
glycol CuO	2	9,630250113	0,1341375	40,7152025	1,93871578	4,76165083
1%	3	9,151939346	0,135975	43,503915	2,75655678	6,67884683
	4	8,938284035	0,1378125	41,8306875	3,58516816	8,57066516
	5	8,475756048	0,143325	41,272945	4,2372647	9,73996179
	6	8,323405954	0,1451625	44,0616575	4,98819624	11,3209455
Air-ethylene	1	9,823054083	0,1341375	40,7152025	0,99377744	2,44080190
glycol CuO	2	9,592735147	0,1341375	40,7152025	1,93871578	4,76165083
1,5%	3	9,084942423	0,1414875	44,6194	2,7465576	6,39534896
	s Br.4	8,856441927	0,1414875	42,9461725	3,5651698	8,30148437
	5	8,334749359	0,147	42,9461725	4,17990015	9,36789860
	s Bra <sub>6</sub> vijaya	8,198740126	0,147	44,6194	4,92935796	11,0475666
Air-ethylene	1	9,585085672	0,135975	41,272945	0,97249815	2,35626062
glycol CuO	2	9,048047289	0,1378125	41,8306875	1,8306528	4,37633926
2%	3	8,757857519	0,143325	44,6194	2,65330059	6,09899267
	s Bra <sup>4</sup> vijava	8,238284607	0,143325	43,503915	3,31648444	7,62341605
	5	7,963749258	0,147	43,503915	3,99947385	8,96353122
	s Bra6vijaya	7,567600653	0,1525125	46,2926275	4,54633074	9,82085266

univers<sub>43</sub>as Brawijaya

## wijava 4.3 Analisa dan Pembahasan versitas Brawijava Universitas Brawijaya

# 4.3.1 Pengaruh kapasitas dan persentase mikropartikel tembaga oksida terhadap head pompa sentrifugal

wijaya 44 iniversitas Brawijaya Universitas Brawijaya Universitas Brawijaya



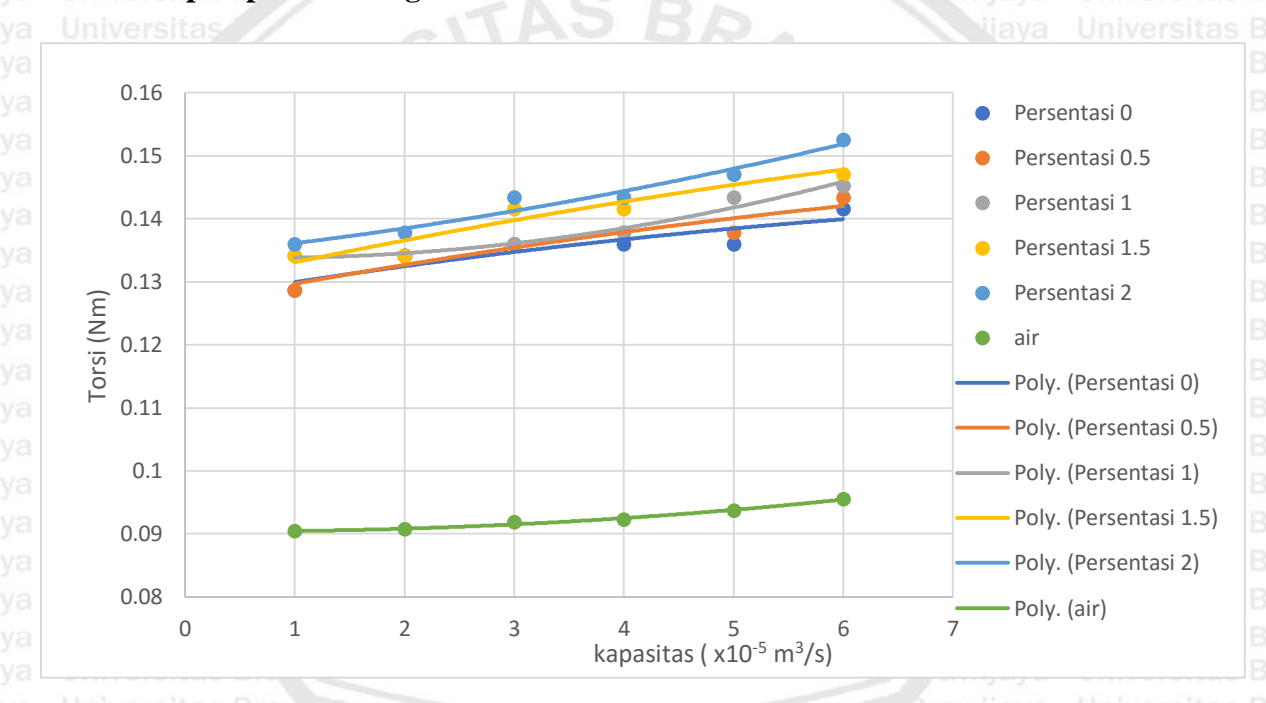
Gambar 4.3 Pengaruh kapasitas dan persentase mikropartikel tembaga oksida terhadap head pompa sentrifugal

Dari gambar 4.3 terlihat bahwa dengan adanya peningkatan kapasitas maka nilai head pun mengalami penurunan dan nilai head tertinggi dimiliki oleh air secara keseluruhan. Apabila dilihat pada masing-masing kapasitas yang diamati, head air tetap memiliki nilai tertinggi. Dengan penggantian fluida menggunakan campuran *ethylene glycol*-air, terjadi lah penurunan nilai head pada setiap kapasitas yang diamati. Hal itu pun terus terjadi dengan adanya penambahan mikropartikel CuO pada fluida *ethylene glycol*-air. Dengan terus meningkatnya persentase massa mikropartikel dalam fluida kerja, nilai head juga terus mengalami penurunan.

Hal ini terjadi karena dengan penggantian fluida kerja dari air menjadi campuran ethylene glycol-air maka akan memberikan dampak pada kinerja pompa, karena terjadi peningkatan massa jenis dan viskositas dari fluida kerja yang digunakan. Begitu pula dengan adanya penambahan massa mikropartikel, maka massa jenis campuran pun mengalami peningkatan sehingga menyebabkan terjadinya penurunan nilai head yang mampu dialirkan oleh pompa. Selain itu, penurunan nilai head yang sangat dipengaruhi oleh tekanan juga disebabkan karena adanya peningkatan gesekan antara fluida dengan saluran.

Jika dianalisa lebih mendalam menggunakan Persamaan Bernoulli, dapat dilihat bahwa nilai yang mengalami perubahan adalah nilai head. Sedangkan nilai head elevasi dan head kinetik tidak mengalami perubahan dikarenakan tidak ada perubahan ketinggian dan luas penampang saluran yang divariasikan dalam penelitian ini. Dalam penelitian ini yang divariasikan adalah persentase mikropartikel CuO dalam campuran ethylene glycol-air yang mana akan mempengaruhi properties fluida kerja yang digunakan, terutama massa jenis dari fluida kerja itu. Dengan adanya mikropartikel CuO, maka massa jenis fluida akan meningkat, sehingga akan menurunkan nilai head tekan apabila dianalisa melalui Persamaan Bernoulli.

## 4.3.2 Pengaruh kapasitas dan persentase mikropartikel tembaga oksida terhadap torsi pompa sentrifugal



Gambar 4.4 Pengaruh kapasitas dan persentase mikropartikel tembaga oksida terhadap torsi pompa sentrifugal Universitas Brawijaya Universitas Brawijaya Universitas Brawijaya

Dari gambar 4.4 terlihat bahwa torsi terus mengalami peningkatan seiring dengan meningkatnya kapasitas dari fluida yang dialirkan oleh pompa. Ini terjadi karena dengan meningkatnya kapasitas yang dialirkan, maka gaya poros yang diterima juga mengalami s Brawllaya peningkatan. Sejalan dengan peningkatan kapasitas, nilai torsi dari poros motor listrik dengan penggunaan fluida campuran ethylene glycol-air juga lebih besar jika dibandingkan dengan penggunaan fluida air biasa. Dan itu juga terjadi ketika terjadi peningkatan persentanse massa mikropartikel CuO pada fluida campuran ethylene glycol-air. Dengan samulava



wijaya <sub>46</sub> iniversitas Brawijaya Universitas Brawijaya Universitas Brawijaya Universitas Brawijaya

Universitas Brawiiava

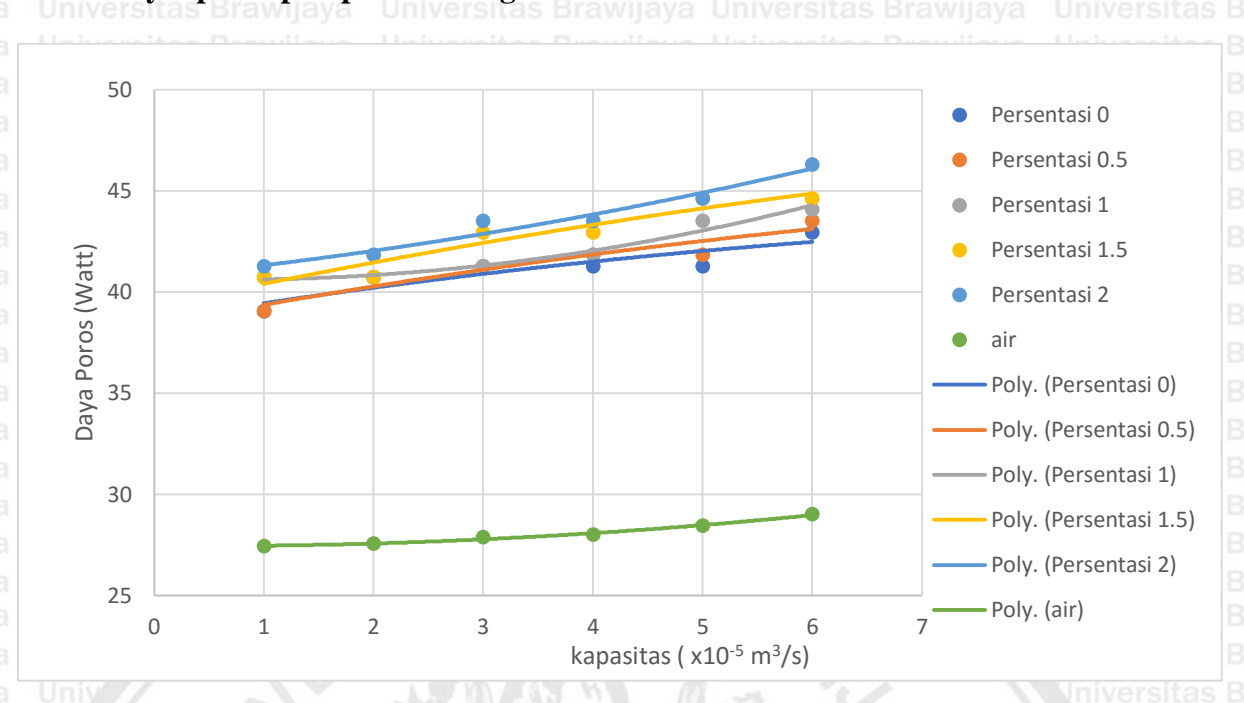
adanya peningkatan persentanse massa mikropartikel CuO pada fluida campuran *ethylene*glycol-air, nilai gaya poros yang terbaca pada alat ukur juga mengalami peningkatan,
sehingga nilai torsi juga terus meningkat.

Peningkatan gaya itu terjadi karena dengan adanya penggunaan fluida campuran ethylene glycol-air, maka beban fluida yang harus dialirkan oleh pompa menjadi lebih tinggi jika dibandingkan air biasa karena massa fluida campuran ethylene glycol-air bernilai lebih besar. Begitupun dengan adanya penambahan mikropartikel CuO yang digunakan, maka beban fluida yang harus dialirkan oleh pompa akan lebih besar lagi karena massa fluida yang mengalir jauh lebih besar dari sebelumnya. Hal ini dikarenakan campuran antara CuO dan fluida campuran ethylene glycol-air memiliki massa jenis yang lebih besar dibanding air biasa. Dengan terus meningkatnya konsentrasi massa CuO, berarti akan meningkatkan jumlah CuO dalam control volume daerah volute maupun sekitaran impeller dan mengurangi jumlah fluida pada control volume tersebut tiap waktunya. Dengan terjadinya hal tersebut, mikropartikel CuO dengan nilai massa jenis yang jauh lebih tinggi akan menggantikan keberadaan fluida campuran ethylene glycol-air pada control volume tersebut tiap waktunya, sehingga beban yang diterima oleh poros pun ikut mengalami peningkatan.



jaya Universitas Brawijaya Universitas Brawi

# daya poros pompa sentrifugal

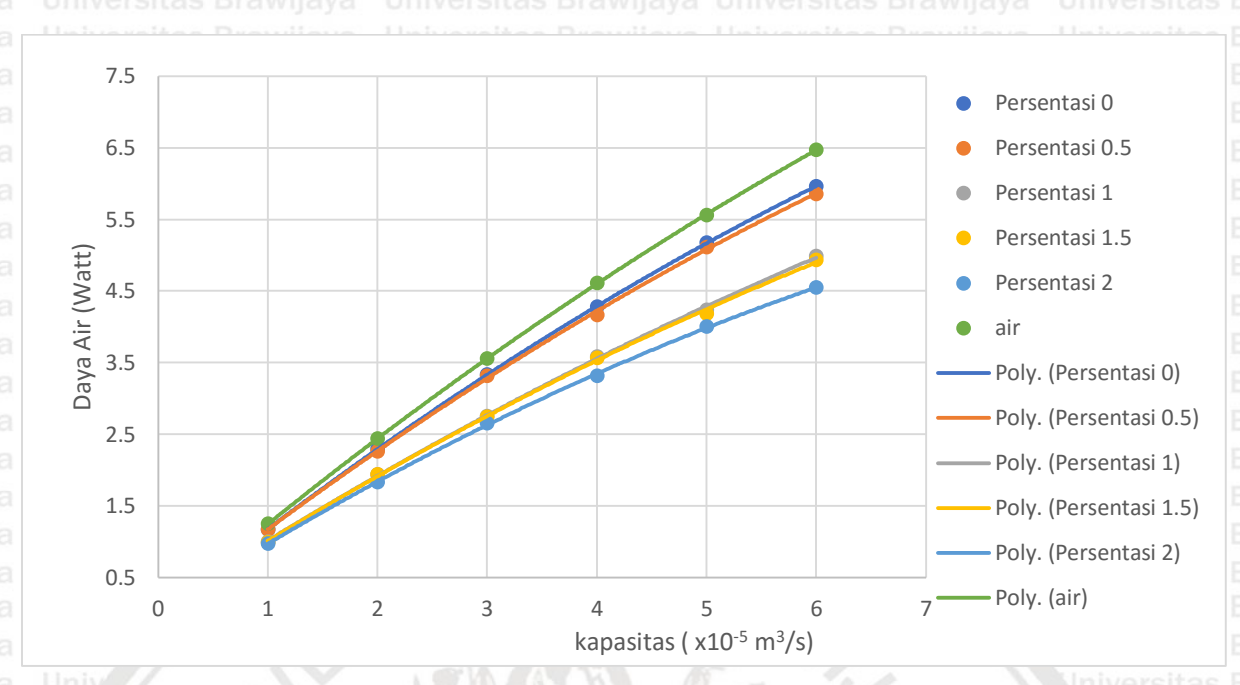


Gambar 4.5 Pengaruh kapasitas dan persentase mikropartikel tembaga oksida terhadap daya poros pompa sentrifugal

Dari gambar 4.5 dapat dilihat bahwa daya poros terus mengalami peningkatan seiring dengan adanya penambahan kapasitas fluida yang dialirkan oleh pompa. Di dalam gambar juga terlihat bahwa nilai daya poros terendah dimiliki oleh air pada tiap kapasitasnya. Lalu mengalami peningkatan ketika fluida kerja campuran *ethylene glycol*-air digunakan. Peningkatan daya poros juga terus terjadi seiring dengan meningkatnya persentase mikropartikel CuO yang digunakan.

Peristiwa ini disebabkan karena dengan adanya peningkatan massa jenis dari fluida yang mengalir, maka gaya poros yang diterima juga mengalami peningkatan. Sebagaimana yang diketahui, hal yang memberikan pengaruh dalam perhitungan daya poros adalah hanya gaya yang diterima saja karena nilai putaran motor dan konstanta pengereman bernilai konstan.

## Wilaya 4.3.4 Pengaruh kapasitas dan persentase mikropartikel tembaga oksida terhadapas Brawijaya daya air pompa sentrifugal



4.6 Pengaruh kapasitas dan persentase mikropartikel tembaga Gambar oksida terhadap daya air pompa sentrifugal

Pada gambar 4.6 dapat diambil kesimpulan bahwa daya air terus mengalami peningkatan seiring dengan meningkatnya kapasitas aliran yang mengalir. Hal ini sesuai dengan pernyataan yang ditunjukkan oleh rumus perhitungan yang digunakan dalam perhitungan daya air yang menunjukkan bahwa hubungan antara kapasitas dan daya air berbanding lurus.

Daya air tertinggi diperoleh ketika fluida kerja menggunakan air biasa dan daya air terendah diperoleh ketika menggunakan campuran ethylene glycol-air dengan persentase 2%. Hal ini mengindikasikan bahwa semakin besar massa jenis dan viskositas dari fluida maka semakin rendah pula daya air yang diperoleh.

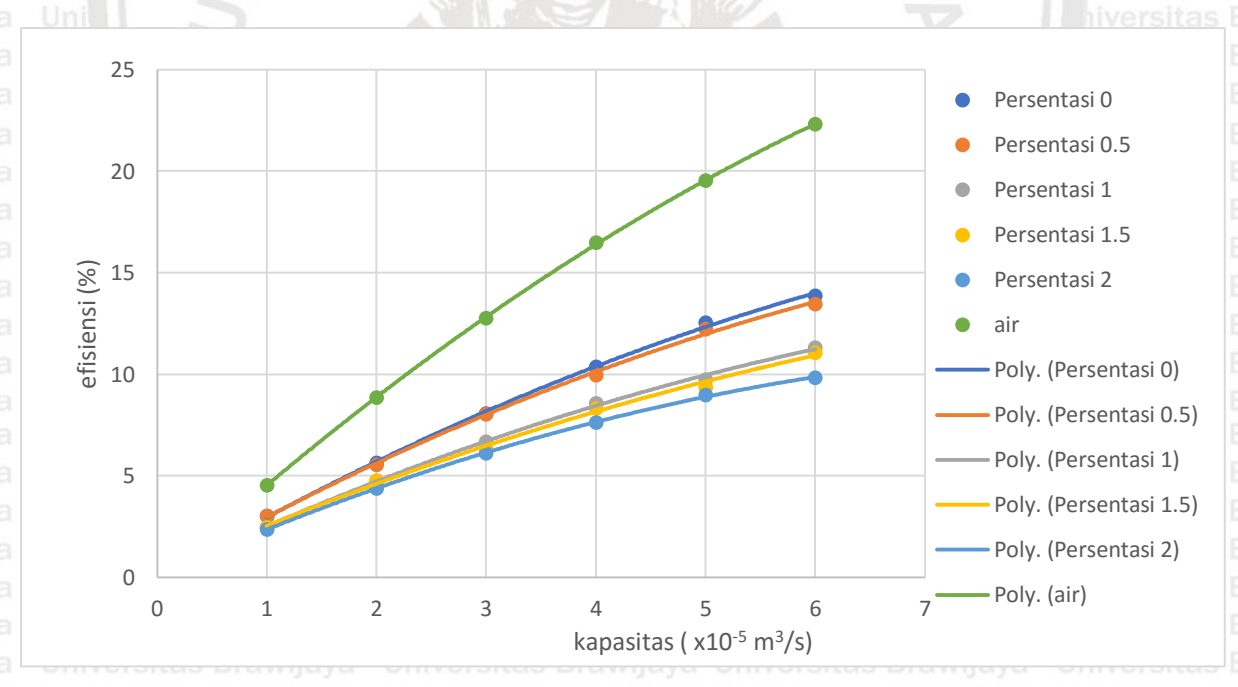
Peristiwa menurunnya daya air dengan meningkatnya persentase mikropartikel CuO yang digunakan dapat dianalisa melalui penyebab turunnya nilai tekanan dan kapasitas Brawlaya karena dalam perhitungan daya air, hal yang mempengaruhi adalah nilai tekanan dan kapasitas. Tekanan sendiri akan mengalami penurunan seiring dengan adanya partikel CuO dalam campuran ethylene glycol-air. Hal ini dikarenakan dengan adanya mikropartikel CuO maka gesekan yang terjadi semakin besar. Energi yang seharusnya menjadi energi tekan berkurang akibat adanya energi yang terbuang akibat gesekan yang lebih besar antara fluida dengan lintasannya. Berbeda dengan campuran ethylene glycol-air saja, walaupun tidak



mengandung mikropartikel, namun jika dibandingkan dengan air biasa sebagai fluida kerja, campuran *ethylene glycol*-air tetap memiliki viskositas yang lebih tinggi sehingga akan memberikan gaya gesek yang lebih besar dan fluida juga akan lebih susah untuk dialirkan sehingga kapasitas fluida yang dapat dialirkan juga mengalami penurunan.

Sedangkan penyebab daya air campuran *ethylene glycol*-air lebih rendah dibandingkan dengan air biasa adalah karena dengan adanya campuran, maka massa masingmasing partikel akan berbeda, dan hal ini berpengaruh ketika terjadi peristiwa resirkulasi pada sisi isap dan sisi tekan pompa. Pada aliran resirkulasi fluida air biasa, akan terjadi perbedaan tekanan pada beberapa tempat di sisi isap yang akan menyebabkan adanya *vortices* dan aliran balik yang saling bertubrukan. Hal ini saja sudah menyebabkan terjadinya losses pada pompa, apalagi ketika digunakan fluida campuran maka perbedaan massa jenis antar partikel akan semakin tidak beragam dan menyebabkan losses semakin besar pada saat terjadi peristiwa resirkulasi.

# 4.3.5 Pengaruh kapasitas dan persentase mikropartikel tembaga oksida terhadap efisiensi pompa sentrifugal



Gambar 4.7 Pengaruh kapasitas dan persentase mikropartikel tembaga oksida terhadap efisiensi pompa sentrifugal

Pada gambar 4.7 dapat dilihat bahwa nilai efisiensi pompa terus mengalami peningkatan dengan adanya peningkatan nilai kapasitas yang dialirkan oleh pompa. Jika melihat perbandingan dari fluida kerja yang digunakan, fluida kerja air tetap memiliki nilai

wijaya <sub>50</sub>jiniversitas Brawijaya

efisiensi tertinggi, lalu diikuti dengan campuran *ethylene glycol*-air, campuran *ethylene glycol*-air CuO 0,5%, campuran *ethylene glycol*-air CuO 1%, campuran *ethylene glycol*-air CuO 1,5% dan yang terendah adalah campuran *ethylene glycol*-air CuO 2%.

Fenomena ini terjadi karena efisiensi dari pompa akan terus mengalami penurunan apabila fluida kerja yang digunakan memiliki nilai massa jenis dan viskositas yang lebih tinggi, yang mana pada penelitian ini telah diketahui bahwa campuran ethylene glycol-air memiliki viskositas dan massa jenis yang lebih besar apabila dibandingkan dengan air biasa. Hal ini dikarenakan beban fluida yang harus dialirkan oleh pompa menjadi lebih besar. Dengan meningkatnya nilai massa jenis maka akan menyebabkan terjadinya penurunan head tekan sehingga akan menyebabkan terjadinya penurunan kapasitas yang mampu dialirkan pompa dengan kerja pompa yang bernilai tetap. Dengan kemampuan mengalirkan kapasitas yang lebih kecil maka akan menurunkan daya air sehingga pada akhirnya akan menurunkan nilai efisiensi pompa. Selain itu, hal kedua yang menyebabkan terjadinya penurunan efisiensi adalah karena dengan adanya peningkatan jumlah mikropartikel CuO dalam fluida, maka aliran fluida cair yang masuk pada sisi isap menjadi lebih sedikit. Perlu diketahui, ketika beroperasi, pompa pasti mengalami aliran resirkulasi pada sisi isap dan sisi tekan nya. Aliran resirkulasi merupakan aliran balik yang terjadi akibat adanya perbedaan tekanan yang dimiliki oleh masing masing garis aliran pada sisi isap dan sisi tekan. Hal ini merupakan salah satu penyebab losses aliran yang terjadi pada sisi isap dan sisi tekan pompa. Dengan adanya peningkatan massa mikropartikel CuO dalam campuran ethylene glycol-air maka akan berpengaruh juga terhadap fenomena resirkulasi ini. Pada fenomena resirkulasi fluida cair, akan terjadi tubrukan antara garis aliran yang saling berpotongan dan fluida yang bertubrukan hanya terdiri dari partikel fluida yang sama. Sedangkan ketika mikropartikel CuO bercampur dengan fluida ethylene glycol-air dan terjadi fenomena resirkulasi, maka tubrukan antar garis aliran yang terjadi akan memungkinkan terjadinya tabrakan antara partikel fluida cair dan mikropartikel CuO yang memiliki massa jenis lebih tinggi, sehingga air akan lebih susah melewatinya apabila dibandingkan dengan adanya tubrukan antara sesama partikel fluida cair. Sehingga banyaknya air yang masuk akan berkurang dan menyebabkan terjadinya daya air ikut berkurang. Penyebab ketiga adalah, dengan adanya mikropartikel logam, maka banyak terjadinya konversi energi tekanan campuran ethylene glycol-air menjadi energi gesekan antara fluida cair dan naopartikel. Hal ini juga akan menurunkan nilai energi yang dimiliki oleh fluida cair dan menurunkan nilai head maupun daya air dari fluida. Selain itu, minor losses dan mayor losses dalam saluran yang terjadi pun wijaya semakin besar akibat adanya mikropartikel CuO karena memiliki friction losses yang lebih

mijaya besar apabila dibandingkan dengan air biasa. Dan penyebab terakhir adalah, dengan adanya sa Bramijaya pencampuran mikropartikel CuO dalam campuran ethylene glycol-air juga meningkatkan nwijaya getaran pada pompa. Getaran ini sebenarnya disebabkan oleh fenomena resirkulasi yang sa Brawijaya telah dibahas sebelumnya, karena dengan adanya beda fase antara fluida yang bersifat liquid dan adanya mikropartikel yang berwujud solid, akan memberikan ketimpangan beda tekanan yang lebih besar pada bagian sekitaran sisi isap impeller jika dibandingkan dengan beda tekanan yang terjadi antara fluida sejenis seperti air. Beda tekanan ini akan menyebabkan perbedaan garis aliran yang bertubrukan dan terjadinya vortices di sekitaran sisi isap dan memberikan getaran pada pompa sehingga mengurangi kestabilan poros dan awijaya menyebabkan terjadinya mechanical losses degan meningkatnya gesekan pada poros yang s Brawijaya berputar.

universitas Brawijaya universitas Brawijaya universitas Brawijaya

ıwıjaya <sub>52</sub>ınıversitas Brawijaya





#### Universitas BAB. Vava Universitas Brawijava KESIMPULAN DAN SARAN

#### wijaya 5.1 Kesimpulan aya

dilakukan dan dilakukan beberapa analisa, didapatkanlah Brawijawa Setelah penelitian kesimpulan mengenai penelitian ini dengan kesimpulan yaitu:

- 1. Penggunaan fluida campuran ethylene glycol-air akan menurunkan nilai head, daya air dan efisiensi pompa. Sedangkan nilai torsi dan daya poros mengalami kenaikan selawi aya jika dibandingkan dengan penggunaan fluida air.
- 2. Penambahan persentase jumlah nanopartikel CuO dari 0%, 0,5%, 1%, 1,5% dan 2% akan menurunkan nilai head, daya air dan efisiensi pompa. Sedangkan nilai torsi dan daya poros mengalami kenaikan jika dibandingkan dengan penggunaan fluida air.

## 5.2 Saran

- 1. Diperlukan penelitian dengan menggunakan fluida campuran lain untuk lebih mudah melihat kecenderungan karakteristik pompa terhadap fluida yang digunakan
- 2. Untuk kedepannya, alat ukur yang digunakan lebih baik menggunakan sistem digital secara sepenuhnya agar lebih cepat dan mudah dalam pengambilan data

#### Univ DAFTAR PUSTAKA sitas Brawijava

- Aliabadi, M.K., Akbari, M.H., Hormozi, F., (2016). An empirical study on vortex a Brawllaya Univergenerator insert fitted in tubular heat exchangers with dilute Cu–water nanofluid s Brawijava flow. Chinese Jurnal of Chemical Engineering.
- Arijanto., Yohana E., Sinaga, F.T.H., (2015) Analisis Pengaruh Kekentalan Air dan Minyak Kelapa pada Performansi Pompa Sentrifugal. Jurnal Teknik Mesin S-1, Vol.3, No. 2, Semarang: Universitas Diponogoro.
- Bozorgan, N., Krishnakumar, K., Bozorgan, N., (2012), Numerical Study on Application of CuO-Water Nanofluid in Automotive Diesel Engine Radiator. Modern Mechanical Engineering. 2 (2012):130-136
- Bramantya, M.A., Sugiyono., Rama D., (2007) Pengaruh Diffuser Pada Flens Isap dan Lock Nut Impeller Berbentuk Tirus Terhadap Karakteristik Pompa Sentrifugal. Jurnal Ilmiah Teknik Mesin CAKRAM Vol. No. 1. Yogyakarta: Universitas Gadjah Mada.
- Cengel, Y.A. dan Cimbala, J.A., (2006). Fluids Mechanic Fundamentals and Applications.. New York: McGraw Hill Companies Inc.
- Choi S. Lee, U.S. Choi, S. Li, J.A. (1999). Eastman, Measuring thermal conductivity of fluids containing oxide nanoparticles, ASME Journal of Heat Transfer 121 (1999) 280e289
- Crowe, C.T., Elger, D.F., Williams, B. C., Roberson, J.A., (2009). Engineering Fluid Mechanics. United States of America: John Wiley & Sons, Inc.
- Eastman, J.A., Choi, S.U.S., Li, S., Yu, W., Thompson, L.J., (2001), Anomalously Increased Effective Thermal Conductivities of Ethylene Glycol-Based Nanofluids Containing Copper Nanoparticles. *Appl. Phys. Lett.* 78: 718-720.
- Fox, W.R., McDonald, A.T., Pritchart, P.J., (2003) Introduction to Fluid Mechanics. John United States: Willey and Sons Inc.
- Garg, J., Poudel, B., Chiesa, M., Gordon, J. B., Ma. J.J., Wang, J. B., Ren, Z.F., Kang, W.T., Ohtani, H., Nanda, J., McKinley, G.H., Chen, G., (2008). Enhanced Thermal Conductivity And Viscosity Of Copper Nanoparticles In Ethylene Glycol Nanofluid. Journal Of Applied Physics. 103 (2008): 074301
- Haq, R.U., Khan, Z.H., Hussain, S.T., Hammouch, Z., (2016). Flow And Heat Transfer Analysis Of Water And Ethylene Glycol Based Cu Nanoparticles Between Two Parallel Disks With Suction/Injection Effects. Journal of Molecular Liquids. 221 (2016):298-304.
- Irawan, D., Kristiawan, B., Budiana, E. P., (2013). Studi Eksperimental Kalor Konveksi Fluida Nano Al<sub>2</sub>O<sub>3</sub>/Ethylene Glycol pada Circular Tube dibawah Kondisi Fluks Kalor Konstan. Volume 11 Nomor 2. Surakarta: Universitas Sebelas Maret.
- Kabeel, A.E., Maaty, T.A., Samadony, Y.E., (2012). The Effect Using Nanoparticles on Corrugated Plate Heat Exchanger Performance. Elsevier: Applied Thermal Engineering.



- Karassic, I.J., Messina, J.P., Copper, P., Heald, C.C., (2001). Pump Handbook. United States of America: R. R. Donnelley & Sons Company.
- Lien, K., Monty J.P., Chong, M.S., Ooi, A., (2004). The Enterance Length for Fully Developed Turbulent Channel Flow. Sidney: The University of Sidney.
- Lienhard IV, J. H., Lienhard V, J. H., (2006). A Heat Transfer Textbook. United States of America: Phlogiston Press.
- Manca, O., Jaluria, Y., Paulikakos, D., (2010). Heat Transfer in Nanofluids. Hindawi Publishing Corporation. ersitas Brawijaya Universitas Brawijaya Universitas Brawijaya
- Meybodi, M.K., Daryasafar, A., Koochi, M.M., Moghadasi, J., (2015). A Novel Correlation Approach for Viscosity Prediction of water based nanofluids of Al<sub>2</sub>O<sub>3</sub>, TiO<sub>2</sub>, SiO<sub>2</sub>, and CuO. Elsevier: Jurnal of the Taiwan Institute of Chemical UniverEngineers. Vijaya Universitas Brawijaya Universitas Brawijaya Universitas Brawijaya
- Moran, M. J., Shapiro, H. N., Munson, B. R., DeWitt, D. P., (2003). Introduction to Thermal Systems Engineering. United States of America: John Wiley & Sons, Inc.
- Munson, B. R., Young, D. F., Okiishi, T. H., Huebsch, W. W., (2009). Fundamentals of Fluid Mechanics. United States of America: John Wiley & Sons, Inc.
- Namburu, P. K., Kulkarni, D. P., Misra, D., Das, D.K., (2007). Viscosity Of Copper Oxide Nanoparticles Dispersed In Ethylene Glycol And Water Mixture. Experimental Thermal and Fluid Science 32 (2007): 397–402.
- Ridwan. (1999). Mekanika Fluida Dasar. Jakarta: Universitas Gunadarma
- Torii, Shuichi. (2007). Experimental Study on Convective Heat Transfer of Aqueous Suspensions of Nano-Diamond Particle. Japan: Kumamoto University
- Xu, J., Bandyopadhyay, K., Jung, D., (2015). Experimental Investigation On The Correlation Between Nano-Fluid Characteristics And Thermal Properties Of Al2O3 Nano-Particles Dispersed In Ethylene Glycol–Water Mixture. International Journal of Heat and Mass Transfer. 94 (2016):262-268

